

Regione
Sardegna



REGIONE AUTÓNOMA DE SARDIGNA
REGIONE AUTONOMA DELLA SARDEGNA

Provincia di
Sassari



Comune di
Sassari



PARCO AGRIVOLTAICO DENOMINATO "LI MOLIMENTI" E RELATIVE OPERE DI CONNESSIONE ALLA RTN DI POTENZA PARI A 60 MWp NEL COMUNE DI SASSARI (SS).

PROGETTISTA INCARICATO:



Ing. Giovanni Cis
Tel. 3190737323
Pec: giovanni.cis@ingpec.eu

Scala

Titolo elaborato:

Formato

A4

Relazione Idrogeologica

TECNICI COINVOLTI

Dott. Ing. Bruno Manca
Dott.ssa Geol. Cosima Atzori
Dott.ssa Archeol. Giuseppina Marras
Dott. Nat. Fabio Schirru
Dott. Nat. Maurizio Medda
Dott. Nat. Nicola Manis
Dott. Ing. Ivano Distinto
Dott. Ing. Carlo Foddis
Dott. Giulio Casu
Dott.ssa Ing. Silvia Exana
Dott.ssa Ing. Ilaria Giovagnorio
Dott. Giovanni Lovigu
Dott. Ing. Luca Salvadori
Dott.ssa Ing. Alessandra Scalas
Ing. Andrea Casna

CODICE ELABORATO

PROGETTO	PROG.	TIPO	REV.
RV-FV-ER-15	PC-R03	R	00

Rev.	Data	Descrizione	Redige	Verifica	Approva
00	04/2023	Prima emissione	Dott.ssa Geol. C. Atzori		
01					
02					
03					
04					
05					
06					
07					

GESTORE RETE ELETTRICA



SOCIETA' PROPONENTE:

OPR SUN 9 S.R.L.
Via Ceresio 7, Milano (MI) - 20154
P.iva 12294590968



INDICE

1. PREMESSA	4
1.1. Quadro normativo.....	4
2. STUDI ED INDAGINI DI RIFERIMENTO	5
3. INQUADRAMENTO GEOGRAFICO GENERALE.....	6
4. CARATTERISTICHE DI PROGETTO DELL'OPERA.....	11
5. INQUADRAMENTO GEOLOGICO-GEOMORFOLOGICO.....	14
5.1. Descrizione del contesto geologico dell'area vasta oggetto di intervento.....	14
5.2. Successione sedimentaria mesozoica	20
5.3. Successione sedimentaria miocenica.....	21
5.4. Depositi Quaternari dell'area continentale	22
5.5. Caratteri geostrutturali, geometria e caratteristiche delle superfici di discontinuità.....	23
5.6. Analisi dell'area geomorfologicamente significativa al progetto.....	25
6. INQUADRAMENTO CLIMATICO	27
6.1. Precipitazioni.....	28
6.2. Temperature.....	29
6.3. Stima dell'Evapotraspirazione.....	30
7. INQUADRAMENTO IDROGEOLOGICO	35
7.1. Schema della circolazione idrica superficiale.....	35
7.2. Schema della circolazione idrica sotterranea	36
7.3. Dissesti in atto o potenziali che possono interferire con l'opera e loro tendenza evolutiva	41
8. INQUADRAMENTO PEDOLOGICO E USO DEL SUOLO	43
9. FATTIBILITA' IDROGEOLOGICA	45

**Indice delle figure**

Figura 1 Inquadramento geografico dell'area di progetto	6
Figura 2 Inquadramento topografico (Zona Ovest), CTR 1:10.000.....	7
Figura 3 Inquadramento topografico (Zona Sud), CTR 1:10.000	8
Figura 4 Inquadramento topografico IGM Serie 25.....	9
Figura 5 Localizzazione area di progetto (Fonte RAS)	10
Figura 6 Vista laterale delle strutture di sostegno dei pannelli	12
Figura 7 Sezioni tipo della trincea per la posa dei cavidotti	12

Figura 8 Sezioni tipo della trincea per la posa dei cavidotti	13
Figura 9 Schema tettonico-strutturale della Sardegna.....	14
Figura 10 Schema Tettonico dell'area vasta di studio con l'area di dettaglio evidenziata nel cerchio rosso (tratto da Ghiglieri et al 2006; 2009a)	16
Figura 11 Sezione geologica rappresentativa dell'area vasta (tratto da Ghiglieri et al 2006; 2009a)	16
Figura 12 Stralcio Carta Geologica d'Italia scala 1:100.000 foglio 179 “Porto Torres”	17
Figura 13 Stralcio Carta Geologica d'Italia scala 1:50.000 foglio 459 “Sassari”	18
Figura 14 Stralcio della Carta Geologica dell'area di interesse.....	19
Figura 15 Calcarei della Formazione di Monte Nurra.....	20
Figura 16 Coltri eluvio-colluviali.	23
Figura 17 Foto dell'area interessata al progetto	25
Figura 18 Foto dell'area interessata al progetto	26
Figura 19 Caratteri geomorfologici dell'area vasta e significativa (NNW verso il lato superiore dell'immagine)	26
Figura 20 Andamento pluviometrico dell'area vasta (espresso in mm) ricavato dalle stazioni pluviometriche di Sassari e di Fertilia (anno 2011).	28
Figura 21 Andamento della pluviometria mensile e annuale (nell'asse delle ordinate, in mm) per le stazioni di Sassari (e Fertilia per il solo 2011) nel periodo 2008-2018.	29
Figura 22 Temperature mensili (in °C) registrate nella stazione di Sassari negli anni dal 2018 al 2012, e presso la stazione di Fertilia per il periodo 1995-2011.	30
Figura 23 Temperature mensili (in °C, nell'asse delle ordinate) registrata nella stazione di Sassari per gli anni 2012-2018, e nella stazione di Fertilia per il periodo 1995-2011.	30
Figura 24 Evapotraspirazione (espressa in mm) per la zona di Sassari.	31
Figura 25 media mensile dei giorni di sereno, nuvoloso e coperto per il periodo 1961-1990, relativa alla stazione di Fertilia, espressa in okta.....	31
Figura 26 Ventosità media per inverno (a), primavera (b), estate (c), e autunno (d) durante il periodo 1971-2000 registrate nella stazione meteorologica di Fertilia.	32
Figura 27 Umidità relativa per la stazione di Fertilia, per il periodo 1971-2000.	33
Figura 28 Diagramma ombrotermico (Walter e Lieth) per il settore di Sassari.....	33
Figura 29 Climogramma relativo all'area di Sassari.....	34
Figura 30 Suddivisione dei bacini idrografici sardi.	35
Figura 31 Carta dell'idrografia superficiale.....	37
Figura 32 Schema esemplificativo, non in scala, dei processi di infiltrazione e deflusso sotterraneo	37
Figura 33 Ubicazione pozzi esistenti (Fonte Archivio Nazionale sulle indagini nel sottosuolo)	39

Figura 34 Monografie pozzi esistenti (Fonte Archivio Nazionale sulle indagini nel sottosuolo)	39
Figura 35 Sistemi idrogeologici dell'area occidentale del foglio 459 "Sassari"	40
Figura 36 Carta delle permeabilità dei substrati	40
Figura 37 Caratteristiche geometriche e pedologiche dei sottobacini del Rio Barca e del Rio Mattone. (L'area di interesse è cerchiata in rosso)	41
Figura 38 Sottobacini del Bacino idrografico del Rio Barca - studio Art.37 NTA PAI (2022).....	42
Figura 39 Sottobacini del Bacino idrografico del Rio Barca e Rio Mattone - studio Art.8 NTA PAI (2014).....	42
Figura 40 Dati di portata del sottobacino 3 del Rio Barca - studio Art.37 NTA PAI (2022).....	43
Figura 41 Stralcio della Carta dei Suoli della Sardegna (Fonte RAS)	44
Figura 42 Stralcio della Carta dell'Uso del Suolo, (Fonte RAS)	45

0380

1. PREMESSA

Il proponente **OPR SUN 9 S.R.L.** intende realizzare un impianto agrivoltaico in località “**Serra Finosa**” nel **Comune di Sassari** e denominato “**Li Molimenti**”, per il cui progetto è stato conferito, alla scrivente Geol. Cosima Atzori, regolarmente iscritta all’Albo Professionale dei Geologi della Sardegna al n°656, con studio in Sestu (CA) – C.D. Pittarello - Loc. Scala Sa Perda 87, C.F. TZRC SM72H41B354F e P.I.V.A. 03191600927, l’incarico professionale per la redazione della Relazione Idrogeologica, la cui stesura ottempera quanto previsto dal D.M. del 17/01/2018 recante le nuove Norme Tecniche per le Costruzioni (di seguito NTC), con l’obiettivo di evidenziare, in via preliminare, le caratteristiche idrogeologiche dei terreni interessati dalle opere in progetto.

1.1. QUADRO NORMATIVO

La presente è redatta in ottemperanza a quanto stabilito dalla vigente normativa in materia, con particolare riferimento a:

- D.M. LL.PP. 11.03.1988 “Norme Tecniche riguardanti le indagini sui terreni e sulle rocce, la stabilità dei pendii naturali e delle scarpate, i criteri generali e le prescrizioni per la progettazione, l’esecuzione e il collaudo delle opere di sostegno delle terre e delle opere di fondazione in applicazione della Legge 02.02.1974 n°64.
- Circ. Min. LL.PP. n° 30483 del 24.09.1988 – Istruzioni pe l’applicazione del D.M. LL.PP.11.03.1988.
- Raccomandazioni, programmazione ed esecuzione delle indagini geotecniche, 1975 – Associazione Geotecnica Italiana.
- D.M. Infrastrutture 17.01.2018 - Norme Tecniche per le Costruzioni. (6.2.1 – Caratterizzazione e modellazione geologica del sito, 6.4.2 Fondazioni superficiali)
- D.lgs. n. 152/2006 Norme in materia ambientale
- DPR 59/2013 Regolamento recante la disciplina dell'autorizzazione unica ambientale e la semplificazione di adempimenti amministrativi in materia ambientale gravanti sulle piccole e medie imprese e sugli impianti non soggetti ad autorizzazione integrata ambientale
- Dgls 50/2016 Codice dei contratti pubblici
- Deliberazione n. 6/16 del 14 febbraio 2014- Direttive in materia di autorizzazione unica ambientale. Raccordo tra la L.R. n. 3/2008, art.1, commi 16-32 e il D.P.R. n. 59/2013.

2. STUDI ED INDAGINI DI RIFERIMENTO

Le informazioni topografiche e geologiche dell'area oggetto della presente sono state ricavate dalla cartografia tematica esistente. Si elencano di seguito:

- Carta Topografica I.G.M. scala in 1:25000
- Carta Tecnica Regionale in scala 1:10000
- RAS - Modello digitale del Terreno con passo 1m
- Carta Geologica dell'Italia in scala 1:100000.
- Cartografia Geologica di base della R.A.S. in scala 1:25000
- RAS - Carta dell'Uso del Suolo della Regione Sardegna, 2008
- I.S.P.R.A - Archivio nazionale delle indagini nel sottosuolo (legge 464/84)
- RAS – Studio dell'Idrologia Superficiale della Sardegna, annali idrologici 1922-2009
- RAS – ARPA – Dati meteorologici 1971-2000 e 2014
- RAS – Autorità di Bacino - Piano Stralcio d'Assetto Idrogeologico
- RAS – Autorità di Bacino - Piano di Tutela delle Acque
- RAS – Autorità di Bacino - Piano Stralcio delle Fasce Fluviali
- Analisi orto-fotogrammetrica

I dati a disposizione sono stati integrati con le informazioni derivanti dai sopralluoghi effettuati dalla scrivente in sito e dagli esiti della campagna delle indagini geofisiche eseguita in data **26/10/2022** nella zona di interesse.

3. INQUADRAMENTO GEOGRAFICO GENERALE

Sassari è un comune di 123.850 abitanti, capoluogo dell'omonima provincia, è situato nella parte Nord Occidentale dell'isola e confina da NNW in senso orario con Stintino, Porto Torres, Sorso, Sennori, Osilo, Muros, Ossi, Tissi, Usini, Uri, Olmedo e Alghero.

Il terreno sul quale verrà realizzato il progetto ricade nella località "*Serra Finosa*" nei pressi della Cava Monte Nurra.

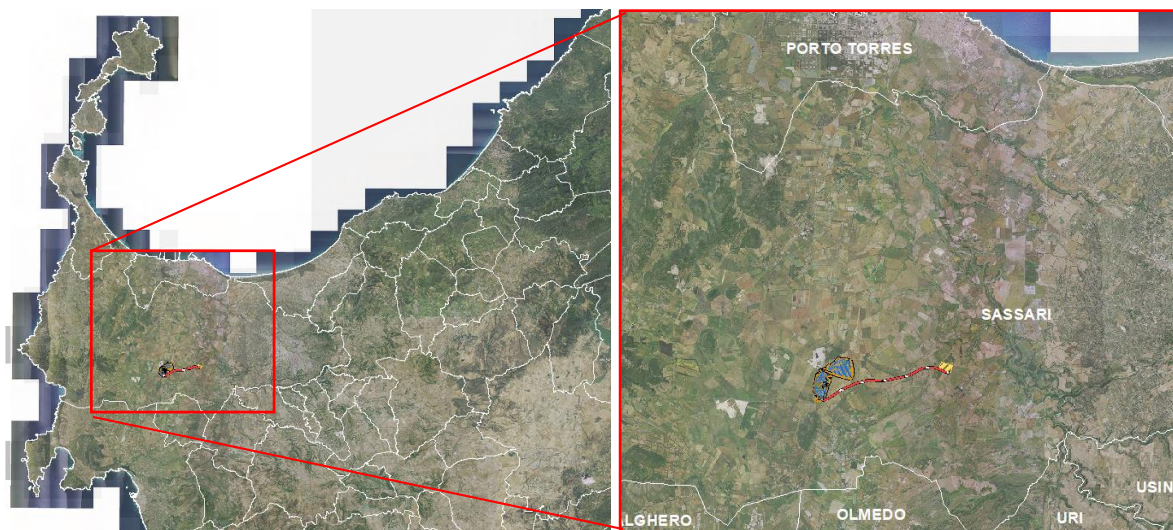


Figura 1 Inquadramento geografico dell'area di progetto

Le coordinate geografiche Gauss Boaga del centroide ipotetico di riferimento della porzione di impianto in località "*Serra Finosa*" sono: **1.445.824E - 4.506.787N**

L'inquadramento cartografico di riferimento è il seguente:

- Cartografia ufficiale dell'Istituto Geografico Militare I.G.M. Serie 25 foglio **459 IV "La Crucca"**
- Carta Tecnica Regionale della Sardegna – scala 1:10000 – sez. **459050 "Monte Nurra"**-
- Carta Geologica d'Italia – scala 1:50000 – foglio **459 "Sassari"**
- Carta Geologica d'Italia – scala 1:100000 – foglio **179 "Porto Torres"**

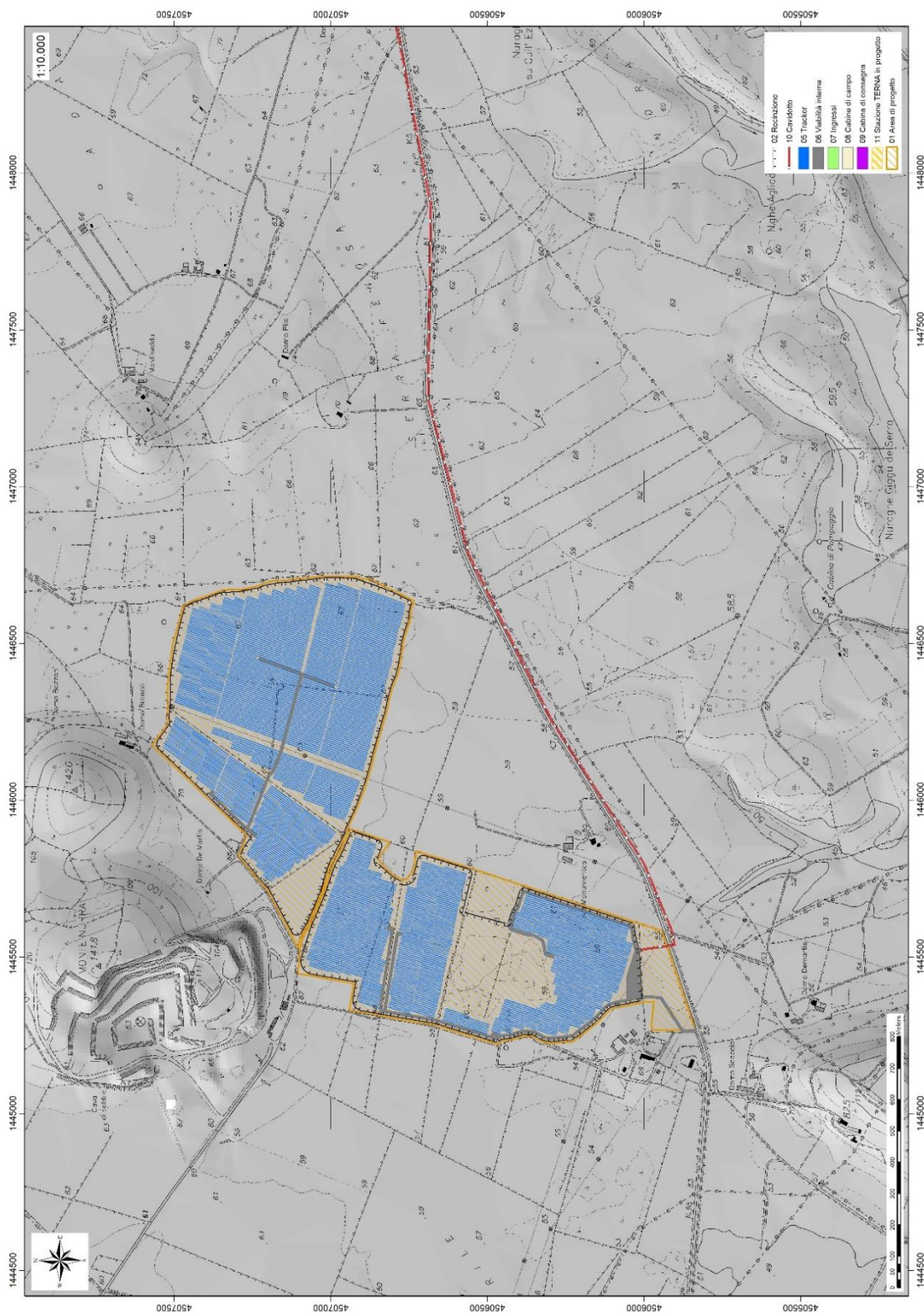


Figura 2 Inquadramento topografico (Zona Ovest), CTR 1:10.000

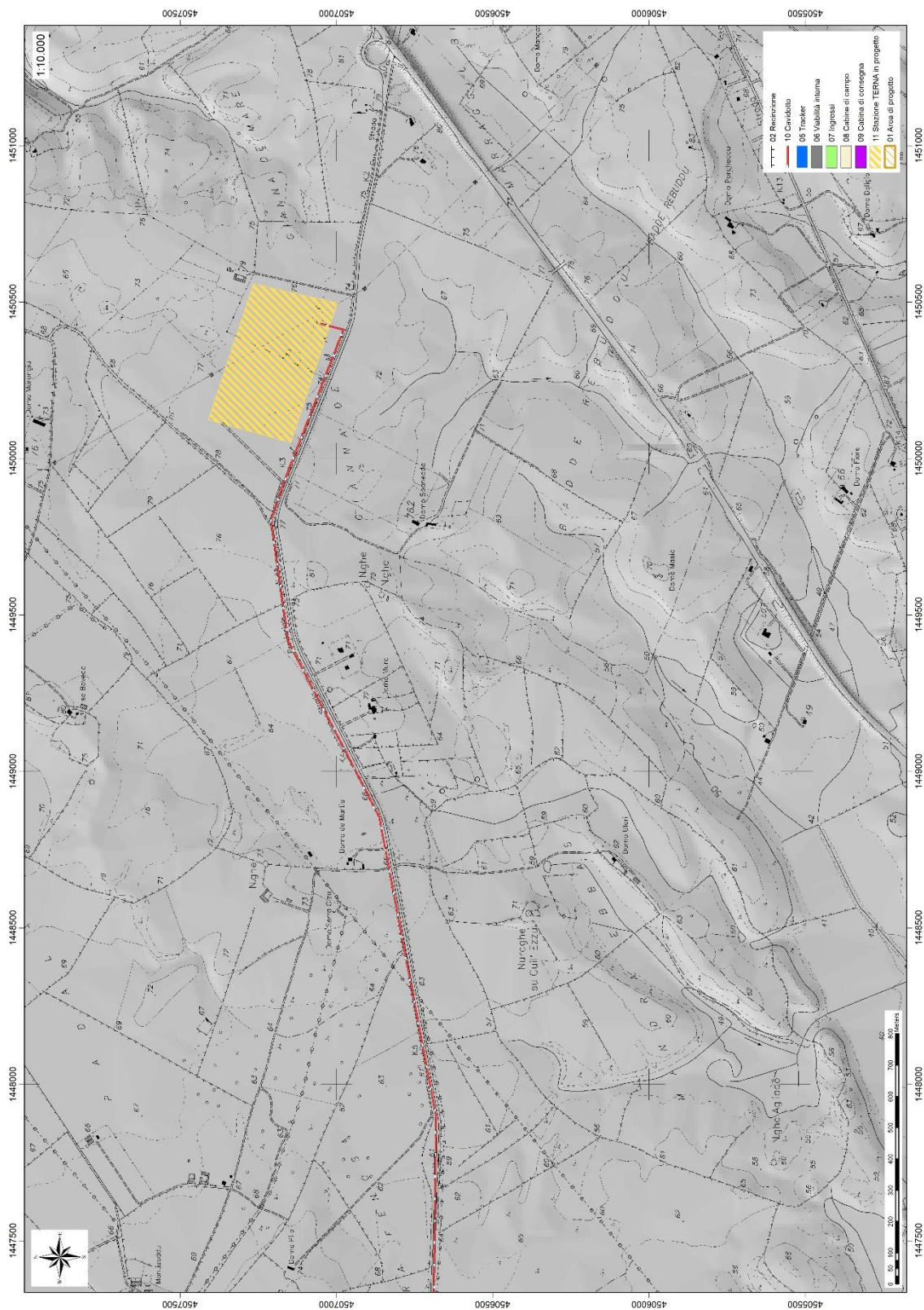


Figura 3 Inquadramento topografico (Zona Sud), CTR 1:10.000

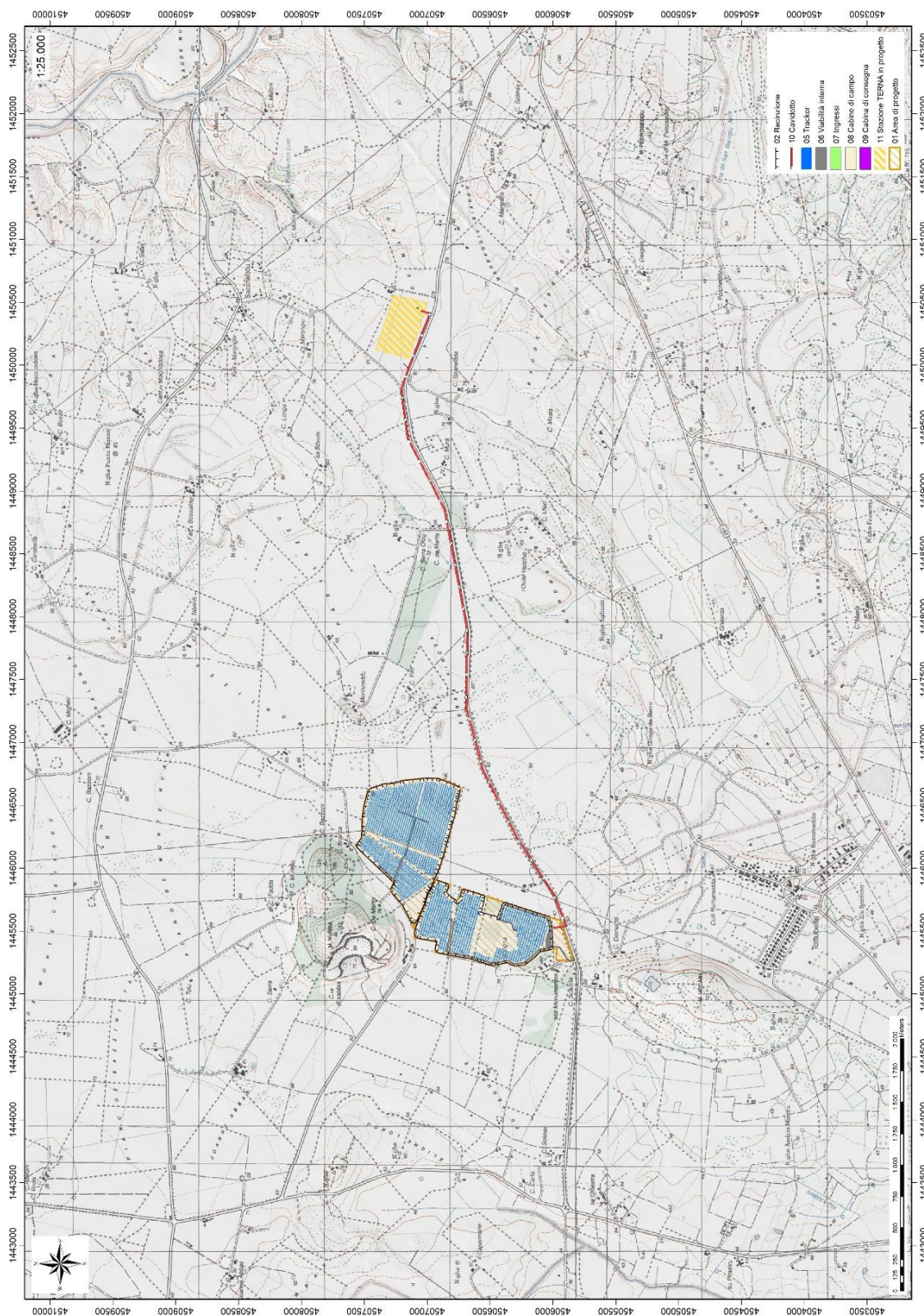


Figura 4Inquadramento topografico IGM Serie 25



Figura 5 Localizzazione area di progetto (Fonte RAS)

4. CARATTERISTICHE DI PROGETTO DELL'OPERA

L'impianto in questione sarà del tipo a pannelli fotovoltaici su strutture ad inseguimento infisse nel terreno; esso sarà essenzialmente composto dai seguenti elementi:

- Strutture di sostegno ad inseguimento mono assiale “tracker”;
- Pannelli fotovoltaici;
- Quadri Elettrici BT;
- Inverter di stringa per la conversione CC/CA;
- Cabina di trasformazione 0.8/36kV;
- Cabine prefabbricate per ufficio, alloggio materiale, quadri elettrici ausiliari.
- Fanno parte dell'impianto altri elementi complementari:
 - Impianti ausiliari;
 - Sistema di sicurezza e sorveglianza;
 - Viabilità di accesso e strade di servizio;
 - Recinzione perimetrale;

I moduli fotovoltaici saranno installati su strutture ad inseguimento solare di tipo “mono-assiale”, detti tracker, in modalità “ritratto” (ossia in modo che il lato corto del pannello sia parallelo all'asse del tracker). Tali strutture permettono la rotazione lungo l'asse orizzontale, da Est a Ovest, da +60° a -60°, durante la giornata affinché sia mantenuta il più possibile l'ortogonalità tra i pannelli e i raggi solari.

I tracker sono costituiti da travi in acciaio zincato (tipicamente IPE) opportunamente dimensionati e direttamente infissi nel terreno tramite macchine battipalo, senza la necessità di fondazioni in c.a.: si prevede l'infissione per circa 3,5 di profondità, predisponendo un palo ogni 6/7m. Su detti sostegni, tramite opportune giunzioni snodabili, è posta la trave orizzontale, su cui vengono fissati i pannelli. Il movimento rotatorio è assicurato da un motore – uno per ogni struttura – alimentato da piccoli pannelli fotovoltaici ad hoc. Il controllo è gestito centralmente e la comunicazione avviene wireless.

L'asse dei tracker è posizionata a circa 2,4m di altezza, cosicché, nel momento di massima inclinazione, il punto più basso del pannello sia ad una quota $\geq 1,30\text{m}$, in ottemperanza con le Linee Guida sull'Agrivoltaico emanate dal Mite.

I tracker che verranno installati saranno dotati della funzionalità “backtracking”, ossia un apposito sistema di controllo che gestisce la rotazione affinché, quando il sole è particolarmente basso, si eviti l'ombreggiamento reciproco tra le varie file vicine. Questo comporta un aumento di energia prodotta di circa 5%.

La struttura completa proposta è rappresentata nella figura seguente.

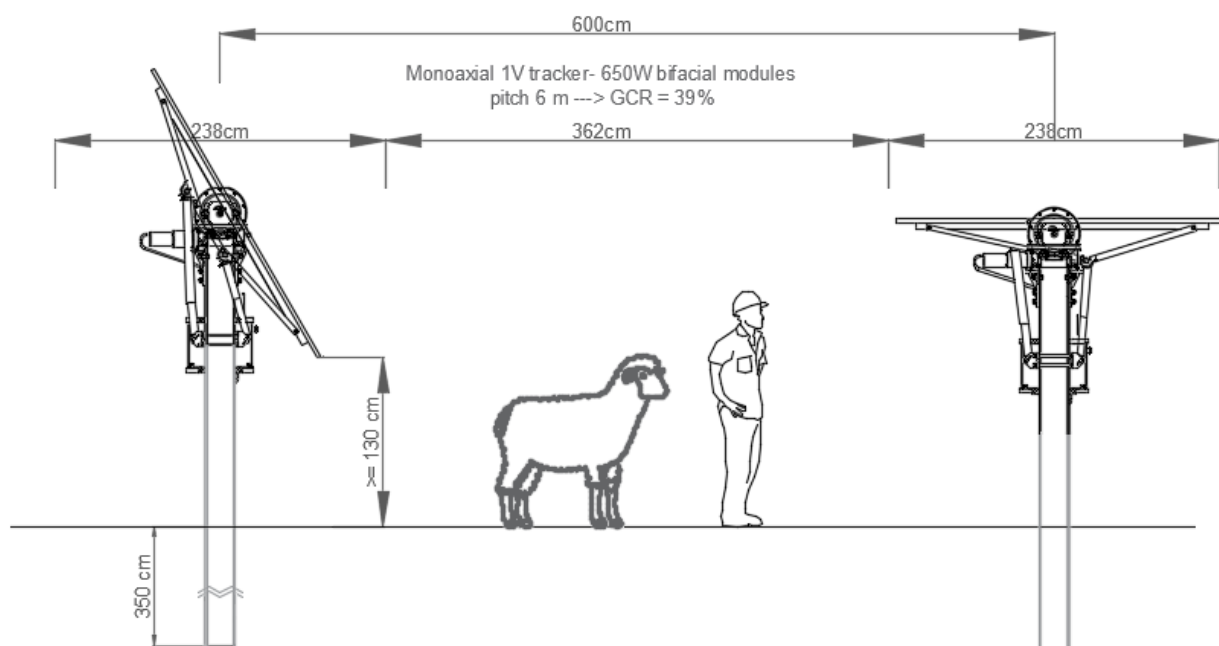


Figura 6 Vista laterale delle strutture di sostegno dei pannelli

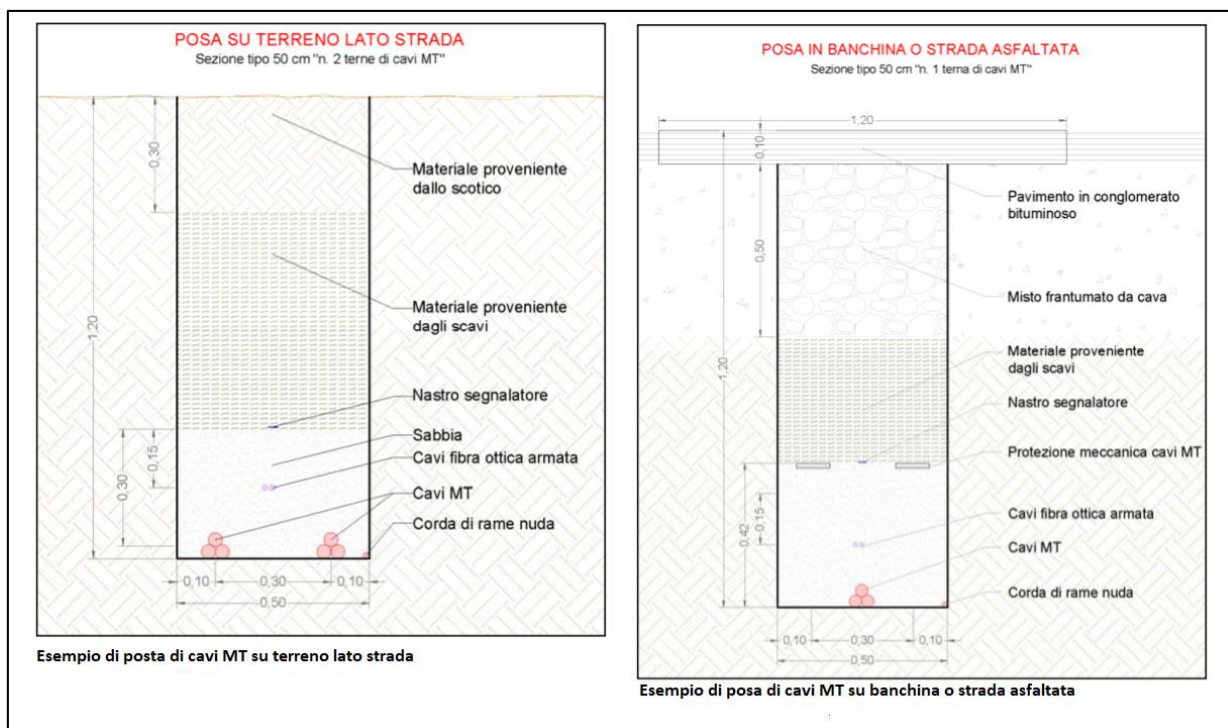


Figura 7 Sezioni tipo della trincea per la posa dei cavidotti

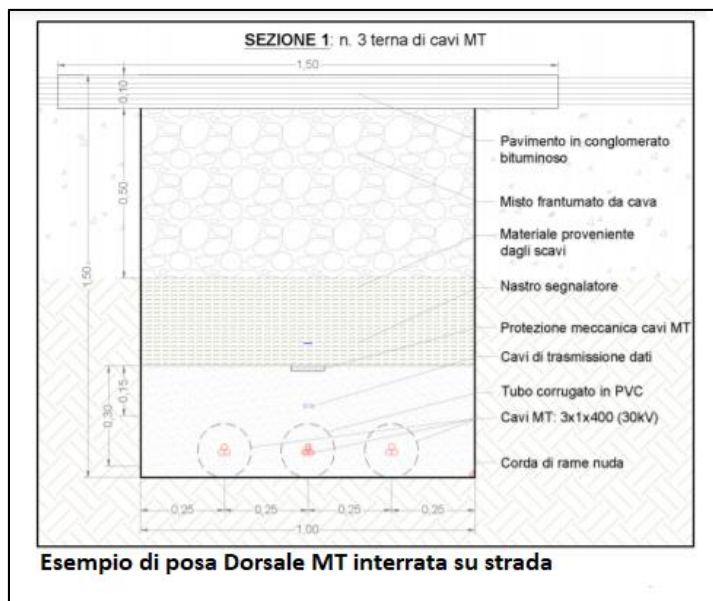


Figura 8 Sezioni tipo della trincea per la posa dei cavidotti

Per ulteriori specifiche si rimanda agli elaborati tecnici di progetto.

5. INQUADRAMENTO GEOLOGICO-GEOMORFOLOGICO

L'obiettivo dell'analisi dell'assetto geologico è quella di caratterizzare geologicamente e geotecnicamente l'area ove verrà installato il parco fotovoltaico e quella geomorfologicamente significativa, con particolare riferimento alle condizioni del substrato di fondazione, agli scavi ed ai riporti necessari per la realizzazione del sistema di fondazione e delle sue potenziali interazioni con le condizioni al contorno (dinamica geomorfologica, circolazione idrica superficiale e sotterranea, rapporti fra le componenti litologiche interessate) attraverso:

- Definizione dell'assetto geologico-strutturale e idrogeologico di area vasta e dell'area geomorfologicamente significativa;
- Definizione dell'assetto stratigrafico dell'area di sedime delle opere;
- Definizione del modello geologico di sito;

5.1. DESCRIZIONE DEL CONTESTO GEOLOGICO DELL'AREA VASTA OGGETTO DI INTERVENTO

A partire dal Paleozoico si sono susseguiti una serie di eventi geologici sviluppatasi nell'arco di circa mezzo miliardo di anni, che hanno reso la Sardegna una delle regioni geografiche più antiche del Mediterraneo centrale e, morfologicamente e cronologicamente eterogenea.

L'isola riflette pertanto una storia geologica molto articolata, che testimonia, in maniera più o meno completa, alcuni dei grandi eventi geodinamici degli ultimi 400 milioni di anni.

L'orogenesi Caledoniana, la più antica, le cui tracce si rinvengono principalmente nel nord della Gran Bretagna e nella Scandinavia occidentale, fu causata dalla progressiva chiusura dell'oceano Giapeto, a seguito della collisione dei continenti Laurentia, Baltica e Avalonia, dando così origine al super continente Laurussia.

La successiva fase dell'orogenesi Ercinica (o Varisica) ha avuto corso a partire dal Carbonifero, circa

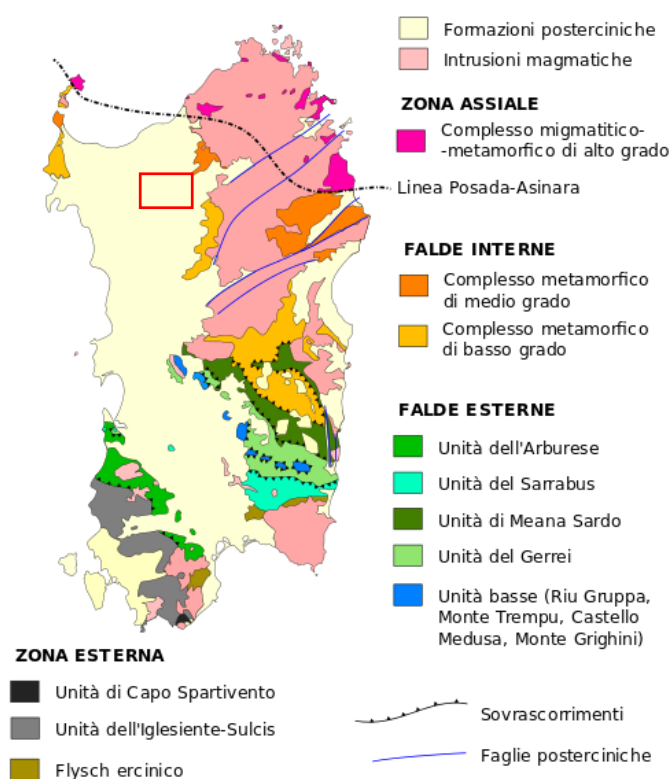


Figura 9 Schema tettonico-strutturale della Sardegna

350 Ma fa e si è protratta fino al Permiano determinando un'estesa catena montuosa ubicata tra il Nord America e l'Europa.

Quest'orogenesi ha prodotto in Sardegna tre zone metamorfiche principali. Procedendo dal nucleo orogenetico verso l'avanfossa si trovano le zone dette: Assiale (Sardegna NE) – a Falde interne (Sardegna centrale) - a Falde esterne (Sardegna SW).

Successivamente, tra il Carbonifero Sup. e il Permiano Inf., avviene la messa in posto dei batoliti granitici tardo ercinici, questa ha prodotto metamorfismo termico e di alta pressione delle rocce esistenti.

L'area di studio ricade parzialmente nella zona a Falde Interne del basamento varisco sardo; ma comprende soprattutto rocce delle coperture mesozoiche, che in quest'area dell'Isola sono costituite da sedimenti alluvionali del Buntsandstein (Trias medio), su cui poggiano in trasgressione i sedimenti carbonatici di ambiente neritico (Muschelkalk) e poi quelli evaporitici (Keuper). Seguono le rocce della successione vulcano-sedimentaria Miocenica, e i depositi quaternari. Le Unità Tettoniche affioranti nel settore occidentale dell'area vasta sono costituite da originarie successioni sedimentarie e vulcaniche di età compresa tra il Cambriano e il Carbonifero inferiore, note come Unità di Canaglia, Li Trumbetti e Argentiera. Il settore di interesse all'installazione dell'impianto fotovoltaico si trova nella zona cosiddetta a Falde interne, caratterizzata da fenomeni di medio e basso metamorfismo, localizzata nell'area geografica della Nurra. L'area vasta è costituita principalmente da unità di età paleozoica e mesozoica di origine sedimentaria, da rocce magmatiche a carattere effusivo, e da depositi recenti rappresentati dai prodotti di disfacimento della roccia madre e dei suoi derivati che vanno a colmare le vallecole e/o i piccoli impluvi presenti.

Per quanto riguarda l'assetto strutturale dell'area vasta, quest'ultima riflette essenzialmente eventi deformativi di età cenozoica ed in minor misura mesozoica. La tettonica varisca, che è polifasica ed è responsabile della strutturazione del basamento, ha rilevanza solo nel settore della Nurra occidentale.

La Nurra è costituita da un alto strutturale immergente verso est, che si è sviluppato nel Terziario, che confina ad E coi depositi del Miocene inferiore del semi-graben del bacino di Porto Torres.

Nella parte occidentale della Nurra affiora il basamento paleozoico in diverse unità strutturali impilate tettonicamente per via di alcuni sovrascorrimenti ercinici orientati circa NW-SE e E-W, che dalla più profonda alla più superficiale si distinguono in Unità di Argentiera, Li Trumbetti e Canaglia. In quest'area, il basamento paleozoico è coperto in maniera discontinua dalla successione vulcano-sedimentaria del Permiano.

Le rocce mesozoiche della Nurra poggiano generalmente sui depositi continentali permo-triassici o direttamente sul basamento, e sono rappresentate da depositi di piattaforma carbonatica sottoposta ad oscillazioni eustatiche e a fasi tettoniche distensive, che hanno favorito l'ingressione dei mari epicontinentali alternati a fasi subaeree. Il controllo tettonico, attivo in vari intervalli cronostratigrafici,

insieme al controllo eustatico, ha condizionato l'evoluzione sedimentaria della piattaforma. Infatti, la successione mesozoica presenta un tipico aspetto a “duomi e bacini” dovuto alla sovrapposizione di due sistemi di pieghe che hanno interessato la piattaforma carbonatica mesozoica prima durante il Cretaceo medio (pieghe e sovrascorrimenti orientati NW-SE), e poi nel Cretaceo superiore (piegamenti orientati NE-SW).

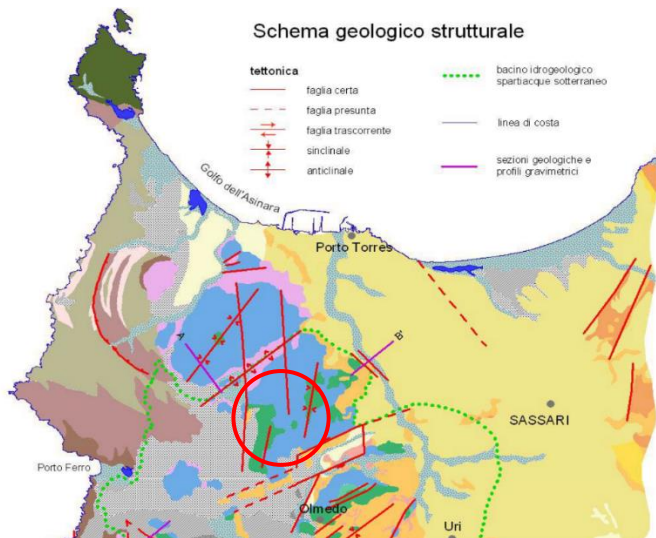


Figura 10 Schema Tettonico dell'area vasta di studio con l'area di dettaglio evidenziata nel cerchio rosso (tratto da Ghiglieri et al 2006; 2009a)

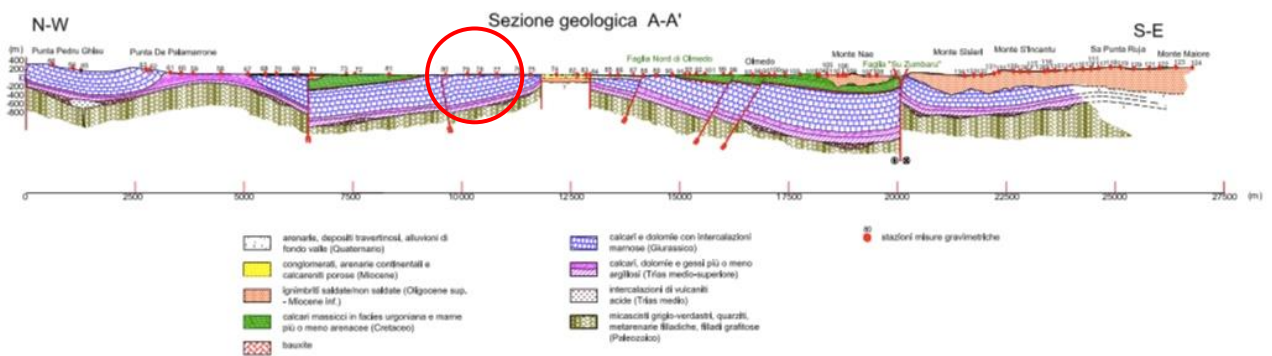


Figura 11 Sezione geologica rappresentativa dell'area vasta (tratto da Ghiglieri et al 2006; 2009a)

La successione mesozoica è rappresentata da una sequenza di calcari, dolomiti e marne e depositi evaporitici il cui spessore può superare i 700 m.

In particolare, nell'area vasta affiorano le seguenti litologie, di seguito riportate con la nomenclatura adottata dalla RAS nella stesura della cartografia geologica in scala 1:25000:

bb - Depositi alluvionali, sabbie con subordinati limi e argille. OLOCENE

b2 - Coltri eluvio-colluviali. Detriti immersi in matrice fine, talora con intercalazioni di suoli più o meno evoluti, arricchiti in frazione organica. OLOCENE

ba - Depositi alluvionali. Ghiaie da grossolane a medie. OLOCENE

PVM2a - Litofacies nel Subsistema di Portoscuso (SINTEMA DI PORTOVESME). Ghiaie alluvionali terrazzate da medie a grossolane, con subordinate sabbie. PLEISTOCENE SUP.

RESb - Litofacies nella FORMAZIONE DI MORES. Arenarie e conglomerati a cemento carbonatico, fossiliferi e bioturbati. Intercalazioni di depositi sabbioso-arenacei quarzoso-feldspatici a grana medio-grossa, localmente ricchi in ossidi di ferro (Ardara-Mores). MIOCENE INFERIORE (BURDIGALIANO)

MUC - FORMAZIONE DI MONTE UCCARI (cfr. Formazione di Punta Cristallo IST). Calcari micritici e bioclastici grigio biancastri ben stratificati; dolomie grigiastre e lenti di calcare oolitico con ciottoli a carofite. MALM.

NRR - FORMAZIONE DI MONTE NURRA (cfr. Formazione di Gamba di Moro GDM) Dolomie e calcari dolomitici, calcari bioclastici, calcari selciferi, calcari marnosi e marne, con intercalazioni di arenarie quarzose. Alla base calcari e dolomie scure di ambiente lacustre a carofite. DOGGER

KEU - KEUPER AUCT. Marne grigio-giallognole con subordinati calcari marnosi; argille varicolori gessifere. TRIAS SUP. (LONGOBARDICO SUP. - ?RETICO)



Figura 12 Stralcio Carta Geologica d'Italia scala 1:100.000 foglio 179 "Porto Torres"

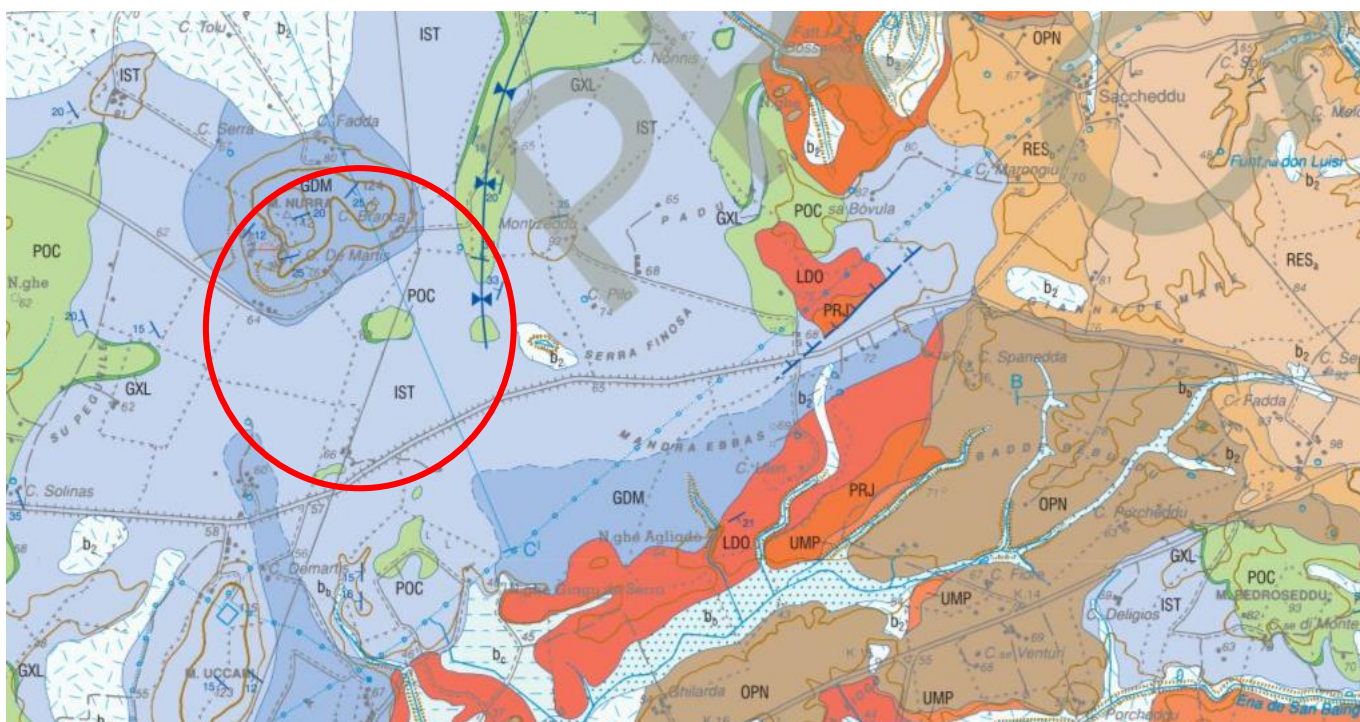


Figura 13 Stralcio Carta Geologica d'Italia scala 1:50.000 foglio 459 "Sassari"

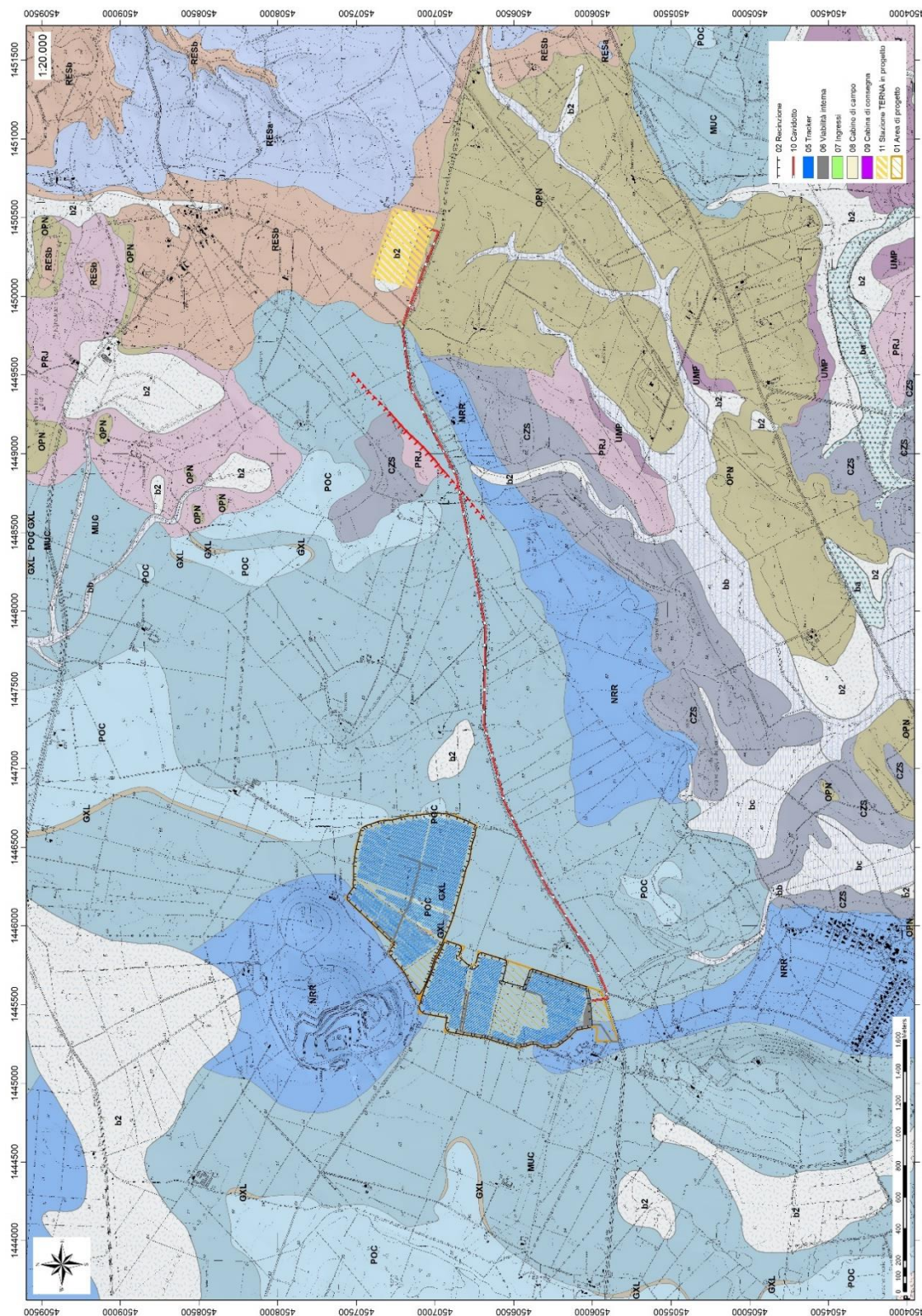


Figura 14 Stralcio della Carta Geologica dell'area di interesse

5.2. SUCCESSIONE SEDIMENTARIA MESOZOICA

Le rocce della successione mesozoica sono deformate da una tettonica con tipico stile di copertura. La parte più bassa della successione, presenta rocce con caratteri di sedimentazione prevalentemente terrigena (Triassico), che evolve a piattaforma carbonatica (Giurassico). Vengono descritte quelle affioranti nell'area di interesse, a partire dalla più recente fino alla più antica.

POC - FORMAZIONE DI CAPO CACCIA. Calcari a rudiste. **CONIACIANO.** Questa formazione rappresenta il substrato roccioso dell'area di impianto

GXL - FORMAZIONE DI GRAXIOLEDDU. Orizzonte bauxitico, con bauxite ed argille residuali in tasche carsiche. **CENOMANIANO**

MUC - Formazione di Monte Uccari (cfr. Formazione Punta Cristallo IST). E' costituita da calcari micritici e bioclastici grigio biancastri ben stratificati; dolomie grigiastre e lenti di calcare oolitico con ciottoli a carofite. La successione, di potenza di un centinaio di metri, viene riferita al Giurassico superiore (MALM) per via della ricca associazione di alghe dasycladacee. Questa formazione rappresenta il substrato roccioso dell'area di impianto.

NRR - Formazione di Monte Nurra (cfr Formazione Gamba di Moro GDM). La successione, potente fino a 150-200m, è costituita da dolomie e calcari dolomitici, calcari bioclastici, calcari selciferi, calcari marnosi e marne, con intercalazioni di arenarie quarzose. Alla base calcari e dolomie scure di ambiente lacustre a carofite. La ricca fauna a spugne, coralli ermatipici, lamellibranchi, gasteropodi, brachiopodi, echinodermi e briozoi ha permesso di collocare la successione nel Giurassico medio (DOGGER). Questa formazione rappresenta il substrato roccioso dell'area di impianto.



Figura 15 Calcari della Formazione di Monte Nurra.

KEU - Keuper AUCT. La successione, di spessore valutabile in 40-50 m, presenta due litofacies non sempre affioranti costituite da marne grigio-giallognole con subordinati calcari marnosi; argille varicolori gessifere. TRIAS SUP. (LONGOBARDICO SUP. - ?RETICO)

MUK - Muschelkalk AUCT. La successione, spesso non oltre 10-15m, è costituita da calcari laminati sottilmente stratificati e calcari dolomitici in grossi banchi. Si possono individuare quattro livelli che, dalla base verso il tetto, sono costituiti da marne dolomitiche nodulari giallastre e dolomie grigie laminate e attraversate da bioturbazioni, seguite da calcari marnosi e livelli argillosi, e da calcari bioclastici, per terminare con calcari intercalati a livelli di dasycladacee e foraminiferi. Viene attribuita al Ladinico per la presenza di alcuni conodonti, sebbene siano presenti alghe, coralli, foraminiferi, bivalvi, brachiopodi, crinoidi, e ammoniti. TRIASSICO MEDIO (LADINICO)

BUN - Buntsandstein AUCT. Alternanza di arenarie, argilliti, siltiti, livelli marnosi con gesso e conglomerati poligenici alla base ("Verrucano" sensu Gasperi & Gelmini, 1979). TRIASSICO MEDIO (ANISICO)

5.3. SUCCESSIONE SEDIMENTARIA MIOCENICA

La successione sedimentaria miocenica è caratterizzata dalla presenza di sequenze deposizionali delimitate da discordanze: la prima sequenza è costituita da depositi continentali fluviali e di piana alluvionale, deltizi marini e di piattaforma, mentre la seconda sequenza è costituita da depositi fluvio-marini e carbonatici di piattaforma.

OPN - FORMAZIONE DI OPPIA NUOVA. Sabbie quarzoso-feldspatiche e conglomerati eterometrici, ad elementi di basamento paleozoico, vulcaniti oligomioceniche e calcari mesozoici (Nurra). Ambiente da conoide alluvionale a fluvio-deltizio. BURDIGALIANO ?MEDIO-SUP.

RESa - Litofacies nella FORMAZIONE DI MORES. Calcareniti, calcari bioclastici fossiliferi. Calcari nodulari a componente terrigena, variabile, con faune a gasteropodi (Turritellidi), ostreidi ed echinidi (Scutella, Amphiope) ("Calcari inferiori" Auct.).

RESb – Litofacies nella Formazione di Mores: costituita prevalentemente da conglomerati ad elementi arrotondati di quarzo, vulcaniti terziarie e rocce del basamento paleozoico, e da arenarie a cemento carbonatico, fossiliferi e bioturbati. Intercalazioni di depositi sabbioso-arenacei quarzoso-feldspatici a grana medio-grossa, localmente ricchi in ossidi di ferro (Ardara-Mores). Per via della fauna ad echinodermi (Clypeaster, Amphiope e Scutella), e per via della posizione stratigrafica, tali depositi sono riferiti al Miocene inferiore (BURDIGALIANO SUP.). Su questa litologia sorgerà la sottostazione.

PRJ - UNITÀ DI PUNTA RUJA. Depositi di flusso piroclastico in facies ignimbratica, pomiceo-cineritici, da mediamente a fortemente saldati, di colore da rosato a nerastro, con pomice nerastre. BURDIGALIANO.

5.4. DEPOSITI QUATERNARI DELL'AREA CONTINENTALE

I depositi quaternari cartografati nell'area di studio sono generalmente poco rilevanti; sono rappresentati principalmente da depositi di versante, coltri eluvio-colluviali e depositi alluvionali. Vengono descritti dal più antico al più recente.

PVM2a - Litofacies nel Subsistema di Portoscuso (SINTEMA DI PORTOVESME). Ghiaie alluvionali terrazzate da medie a grossolane, con subordinate sabbie, e elementi subangolosi e subarrotondati di vulcaniti terziarie, calcari mesozoici, quarzo e metamorfiti paleozoiche. Poggiano sul substrato pre-Quaternario costituito dai calcari e dolomie mesozoici, formando talora dei terrazzi alluvionali sospesi di qualche metro di altezza. Alla base affiorano ghiaie medio-fini con stratificazione incrociata concava che riempiono canali poco profondi, alternate a limi argillosi pedogenizzati, cui seguono ghiaie a stratificazione concava, e sabbie eoliche. L'età dei depositi, che presentano circa 5m di spessore, è attribuita al PLEISTOCENE SUP.

(b2) Coltri eluvio-colluviali: Si tratta di materiali derivati dal disfacimento in situ delle rocce in seguito mobilizzate da processi di versante, costituiti da depositi con percentuali variabili di sedimenti fini (sabbia e silt) più o meno pedogenizzati e arricchiti in frazione organica, con clasti eterometrici di varia litologia. Lo spessore di questi depositi solitamente è abbastanza esiguo (nell'ordine massimo di qualche metro in prossimità dei compluvi). Olocene.

(bb) Depositi alluvionali: si tratta di sedimenti fini, costituiti da sabbie con rare ghiaie.



Figura 16 Coltri eluvio-colluviali.

5.5. CARATTERI GEOSTRUTTURALI, GEOMETRIA E CARATTERISTICHE DELLE SUPERFICI DI DISCONTINUITÀ

I principali lineamenti strutturali, nell'area vasta, derivano dall'evoluzione stratigrafica e tettonica oligo-miocenica, responsabile dello sviluppo dei bacini del Logudoro e di Porto Torres e dell'intenso vulcanismo calcalino.

L'area di studio è caratterizzata dall'affioramento delle coperture mesozoiche, costituite da arenarie grossolane, conglomerati basali, e marne, argille e calcari bioclastici. I depositi quaternari sono principalmente costituiti da coltri eluvio-colluviali di spessore molto modesto e depositi di versante.

Nell'area vasta sono presenti alcune importanti discontinuità, tra cui una faglia che si estende per circa 2 km lungo la direzione N-S, localizzata ad S di P.ta Janna Srinta.

L'area interessata dal progetto è posizionata nelle coperture mesozoiche: in particolare nella formazione di Monte Nurra (NRR) e di Monte Uccari (MUC).

Le rocce della Formazione di Monte Nurra presentano evidente stratificazione (S0), che rappresenta la struttura principale sia alla scala dell'affioramento che alla mesoscala, mentre la fratturazione è visibile soprattutto alla scala dell'affioramento.

Anche le rocce della Formazione di Monte Uccari presentano una stratificazione ben sviluppata, evidente alla scala dell'affioramento.

I pannelli fotovoltaici verranno posizionati lungo la piana ai piedi del Monte Nurra (142m), a quote dai 50m ai 65m s.l.m., in Località **Serra Finosa**.

L'area vasta del settore in studio presenta delle morfologie tipiche di calcari duri e cristallini del mesozoico, stratificati e con forme accidentate che vanno da aspre a sub-pianeggianti, spesso con piani di inclinazione orientati, variamente fratturati ed erosi.

Il territorio indagato è costituito sostanzialmente da una zona collinare, con rilievi arrotondati e dislivelli dell'ordine di 200 m circa tra monte e valle.

La forma prevalentemente rotondeggiante dei rilievi dell'area vasta di **Serra Finosa** è il risultato della graduale demolizione del rilievo ad opera degli agenti erosivi sulle rocce di natura prevalentemente carbonatica, modellate dal carsismo.

I prodotti di erosione sia della prima fase che della seconda e attuale vengono trasportati dall'acqua e dal vento e si depositano in relazione alla loro dimensione e all'energia di trasporto delle acque lungo le pendici dei versanti e nelle valli andando a costituire le coperture sedimentarie.

Le morfologie osservabili in quest'area sono strettamente connesse alle caratteristiche di messa in posto delle litologie e dalle caratteristiche fisico-chimiche delle litologie presenti e dalla tipologia ed intensità degli agenti modellanti predominanti, in particolare il carsismo.

Il carsismo si sviluppa principalmente a seguito della dissoluzione chimica delle rocce carbonatiche.

Il processo carsico rientra nel grande insieme delle azioni di disgregazione compiute dagli agenti esogeni a spese delle rocce affioranti sulla crosta terrestre. La corrosione avviene per opera delle acque meteoriche che, oltre a contenere una certa quantità di anidride carbonica atmosferica disciolta al loro interno, scorrendo sulla superficie del suolo ed attraversando lo strato superficiale del suolo si arricchiscono ulteriormente di CO₂. Queste acque reagiscono con la roccia calcarea intaccandola lentamente, sia in superficie sia infiltrandosi nel reticolo, fino a dar luogo nell'arco del tempo a veri e propri condotti di dimensioni variabili, che costituiscono i classici acquiferi tipici delle rocce carbonatiche. Infatti le acque ricche di anidride carbonica sono particolarmente aggressive nei confronti del carbonato di calcio.

Il paesaggio carsico è caratterizzato da forme superficiali o epigee e da forme sotterranee o ipogee. Le forme epigee possono avere dimensioni molto diverse, comprese fra pochi millimetri e parecchi chilometri.

I paesaggi carsici sono caratterizzati da aridità, dalla mancanza di idrografia superficiale, dalla presenza di conche di assorbimento (doline), inghiottitoi, e pozzi, da valli incise con pareti ripide (forre), da conche chiuse di grandi dimensioni (polje) con depositi alluvionali ed eluviali (residui insolubili dell'erosione carsica - terre rosse), e da forme carsiche tipiche come i Karren (campi carreggiati), i Lapiez (scannellature), solchi (docce), vaschette di corrosione, fori carsici, crepacci e lame.

5.6. ANALISI DELL'AREA GEOMORFOLOGICAMENTE SIGNIFICATIVA AL PROGETTO

L'area geomorfologicamente significativa per le azioni di progetto è quell'area in cui si esplicano tutti i processi geomorfici, il cui effetto può generare interazioni con le dinamiche ambientali. Pertanto la stessa, nello specifico, si individua nei versanti e nei sub-bacini idrografici presenti che interferiscono con l'opera.

La geomorfologia di quest'area è fortemente interessata dall'azione geochimica e fisica che l'acqua esercitata sulle dolomie e sui calcari, la quale, assieme al clima locale caratterizzato dall'imponenza del maestrale e alle importanti escursioni termiche giornaliere, ha smussato e modellato il territorio conferendoli forme dolci e valli da fondo prevalentemente piatto.



Figura 17 Foto dell'area interessata al progetto



Figura 18 Foto dell'area interessata al progetto



Figura 19 Caratteri geomorfologici dell'area vasta e significativa (NNW verso il lato superiore dell'immagine)

6. INQUADRAMENTO CLIMATICO

La definizione del clima è basata sull'analisi dei parametri meteorologici più comunemente studiati, quali la temperatura e le precipitazioni, il cui andamento è legato alle variazioni stagionali della circolazione atmosferica, considerando inoltre la ventosità, la nuvolosità e l'umidità relativa. Il clima della Sardegna viene generalmente classificato come “Mediterraneo Interno”, caratterizzato da inverni miti e relativamente piovosi ed estati secche e calde, con valori minimi invernali di alcuni gradi al di sotto dello zero e massimi estivi anche superiori ai +40 C.

Lungo le zone costiere, grazie alla presenza del mare, si hanno inverni miti con temperature che scendono raramente sotto lo zero. Anche nelle zone interne pianeggianti e collinari il clima è tipicamente mediterraneo, anche se a causa della maggior lontananza dal mare si registrano temperature invernali più basse ed estive più alte rispetto alle aree costiere.

Nelle zone più interne, come gli altopiani e le vallate spesso incastonate tra i rilievi, il clima acquista caratteri continentali con forti escursioni termiche, risultando particolarmente basse le minime invernali in caso di inversione termica, con temperature che possono scendere anche al di sotto dei -10/-12 C. Sui massicci montuosi nei mesi invernali nevica frequentemente e le temperature scendono sotto lo zero, mentre nella stagione estiva il clima si mantiene fresco, soprattutto durante le ore notturne, e raramente fa caldo per molti giorni consecutivi.

La Sardegna inoltre è una regione molto ventosa; i venti dominanti sono quelli provenienti dal settore occidentale (Maestrale e Ponente) e, in minor misura quelli provenienti da quello meridionale (Scirocco).

Le precipitazioni sono distribuite in maniera variabile ed irregolare, con medie comprese tra i 400 e i 600 mm annui lungo le coste e valori pluviometrici che raggiungono e superano i 1000 mm annui (con locali picchi superiori ai 1300–1400 mm) in prossimità dei rilievi montuosi.

A causa del dominio sulla regione dei venti provenienti dai quadranti occidentali, mediamente la maggior frequenza di giorni di pioggia si riscontra nelle zone occidentali dell'isola, mentre in quelle orientali, trovandosi sottovento a questo tipo di circolazione a causa dell'orografia, si ha una minore frequenza di giornate piovose.

Tuttavia, le zone orientali sono spesso soggette a fortissime piogge, per cui gli accumuli medi annuali sono simili tra i due versanti.

L'andamento climatico del territorio di Sassari e le risorse idriche disponibili sono stati valutati sulla base dei dati forniti dalle stazioni meteorologiche dell'ARPAS presenti nel territorio comunale di Sassari e Fertilia, localizzate rispettivamente circa 22 km e 15 km a SE e SW del settore in esame.

L'andamento pluviometrico dell'area oggetto di studio (Fig.20) è stato ricavato dai dati pluviometrici relativi all'intervallo 2008-2018 estratti dagli Annali Idrologici dell'ARPAS reperibili dal Geoportale della R.A.S., così come i dati termometrici, entrambi per le stazioni meteorologiche di Sassari e Fertilia.

Periodo	Gen	Feb	Mar	Apr	Mag	Giu	Lug	Ago	Set	Ott	Nov	Dic	Totale annuale
2018	32,4	101,2	114,2	26,4	199	34,2	0	42,6	31	83,6	155	47	866,6
2017	77,8	62	17,8	23	3,2	33,2	0,4	0	52,4	6,6	81,4	124,6	482,4
2016	58	160	71,4	20	24	3,4	37,4	0,2	52	8	106,4	34,4	575,2
2015	37,8	151,2	57,8	50,2	14	21	0,2	21,6	25,6	114,2	50,6	8,6	552,8
2014	141	95,4	77,6	35,4	33	34,2	14,6	3,4	2	2,6	118,6	76,2	634
2013	202	128,4	137,8	68,4	83,2	1,8	0,2	8,8	31,2	37,4	134,2	29,8	863,2
2012	35,6	56,4	11,8	61,8	125,8	0,8	1,2	0,6	51,6	104,8	109,4	36,4	596,2
2011	105	94,2	32,2	34,2	2	29,6	13,6	0	19,8	11	114,6	62,2	520,9
2010	96,6	61,8	71,6	43,4	62,4	62	0,8	1,4	2,6	64,6	247	126	840,2
2009	104	23,8	37	70,8	6	34,8	0	0,2	101,8	62	107	123,6	671
2008	56,6	18,4	52,4	15,8	109,6	21,8	0,2	0,2	44,6	77,2	131	84,4	612,2

Figura 20 Andamento pluviometrico dell'area vasta (espresso in mm) ricavato dalle stazioni pluviometriche di Sassari e di Fertilia (anno 2011).

Per quanto riguarda i dati sull'evapotraspirazione, sono stati utilizzati i valori pubblicati dal Dipartimento Specialistico Regionale Idroclimatico (I.M.C.) dell'ARPAS.

Alla stazione di Fertilia (Alghero) sono riferiti i dati sulla nuvolosità, umidità relativa e ventosità, estrapolati rispettivamente dagli archivi del Servizio Meteo dell'Aeronautica Militare per il periodo 1961-1990 (nuvolosità) e per il periodo 1971-2000 (umidità relativa e ventosità).

6.1. PRECIPITAZIONI

Nella Fig. 21 sono esposti i dati relativi alle precipitazioni nell'intervallo 2008-2018 registrati nella stazione di Sassari e Fertilia (unicamente per l'anno 2011). Viene riportato il valore medio mensile e il totale annuale di precipitazioni (espresso in mm) nei periodi considerati. Per il periodo 2008-2018 si osserva che i valori di precipitazioni presentano valori inferiori nei mesi autunnali e invernali, e superiori per il periodo compreso tra maggio e agosto.

Nell'area studiata, la piovosità media annuale è pari a circa 663 mm per il periodo compreso tra il 2008 e il 2018.

L'andamento pluviometrico dell'area di **Li Molimenti** nell'arco dell'anno è caratterizzato dal minimo assoluto di piovosità nel periodo estivo e da un massimo in autunno e inverno, per cui i mesi più secchi sono quelli estivi mentre quelli più piovosi sono quelli invernali.

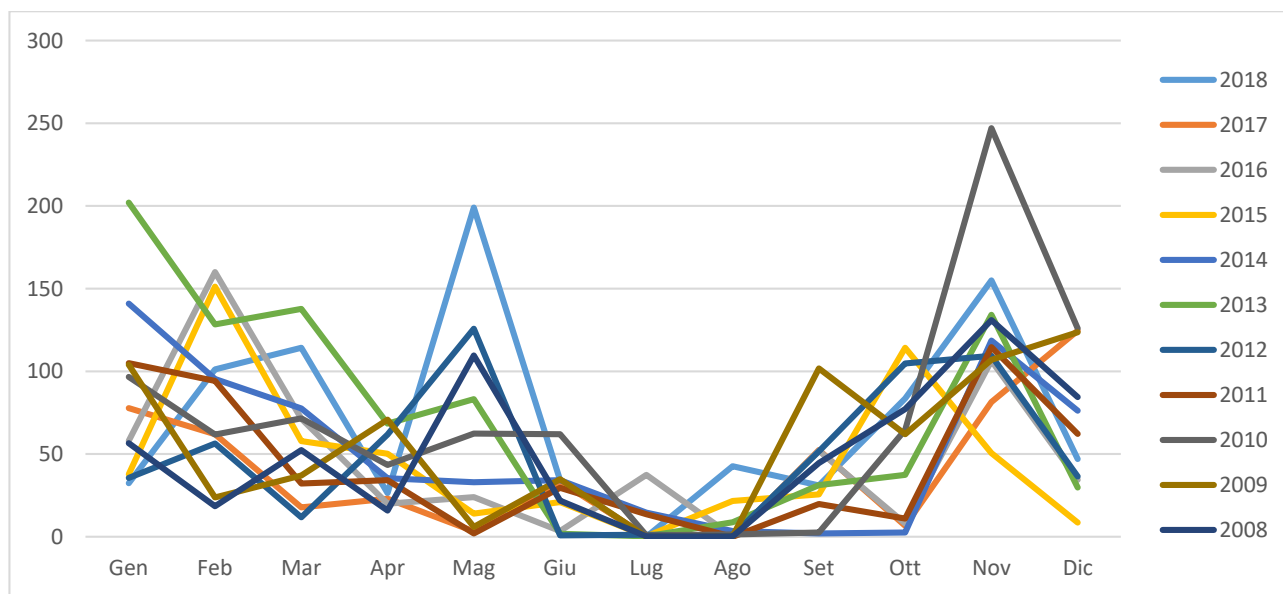


Figura 21 Andamento della pluviometria mensile e annuale (nell'asse delle ordinate, in mm) per le stazioni di Sassari (e Fertilia per il solo 2011) nel periodo 2008-2018.

6.2. TEMPERATURE

I valori termometrici della stazione meteo di Sassari, ricavati dal Dipartimento Specialistico Regionale Idroclimatico (I.M.C.) dell'ARPAS, sono illustrati nel grafico di Fig.22 e sono relativi alla stazione di Sassari per gli anni dal 2012 al 2018, e alla stazione di Fertilia per l'intervallo 1995-2011. La temperatura media annua, calcolata con i valori medi mensili per il periodo 1995-2018, è di circa 17 °C. Il mese più freddo è Febbraio con una media di circa 8,5°C, mentre le temperature più elevate si riscontrano a Luglio e Agosto con circa 25 °C.

Periodo	Gen	Feb	Mar	Apr	Mag	Giu	Lug	Ago	Set	Ott	Nov	Dic
2018	10,8	7,2	10,5	15,8	16,8	21,6	25,5	25,6	22,3	18,1	13,3	10,3
2017	7,3	10,9	12,1	13,8	18,8	24,2	25,7	27,5	19,5	17,6	11,5	8,2
2016	9,6	10,3	10,7	15,1	16,8	21,4	25	24,2	21,8	17,9	13,5	11,1
2015	8,4	7,6	10,3	13,5	18	22,6	26,5	24,7	21,1	16,5	13,3	11
2014	9,3	9,7	10,4	13,7	16,2	22,2	22,6	23,6	22,2	19,7	15,2	9,7
2013	8	6,3	10,5	13,6	14,8	19,6	25	24,7	20,8	19,8	11,4	9,9
2012	8,5	5,4	12	13,3	16,7	23,6	24,8	26,9	21	17,6	13,8	9,1
1995-2011	10	10,4	12,5	15,2	19,4	22,9	25,7	25,8	22,5	19,2	14,6	11,3

Figura 22 Temperature mensili (in °C) registrate nella stazione di Sassari negli anni dal 2018 al 2012, e presso la stazione di Fertilia per il periodo 1995-2011.

Nel grafico della Fig.23 è illustrato l’andamento delle temperature medie mensili per il periodo 1995-2011 registrate nella stazione di Fertilia, e per gli anni dal 2012 al 2018, relativamente alla stazione di Sassari.

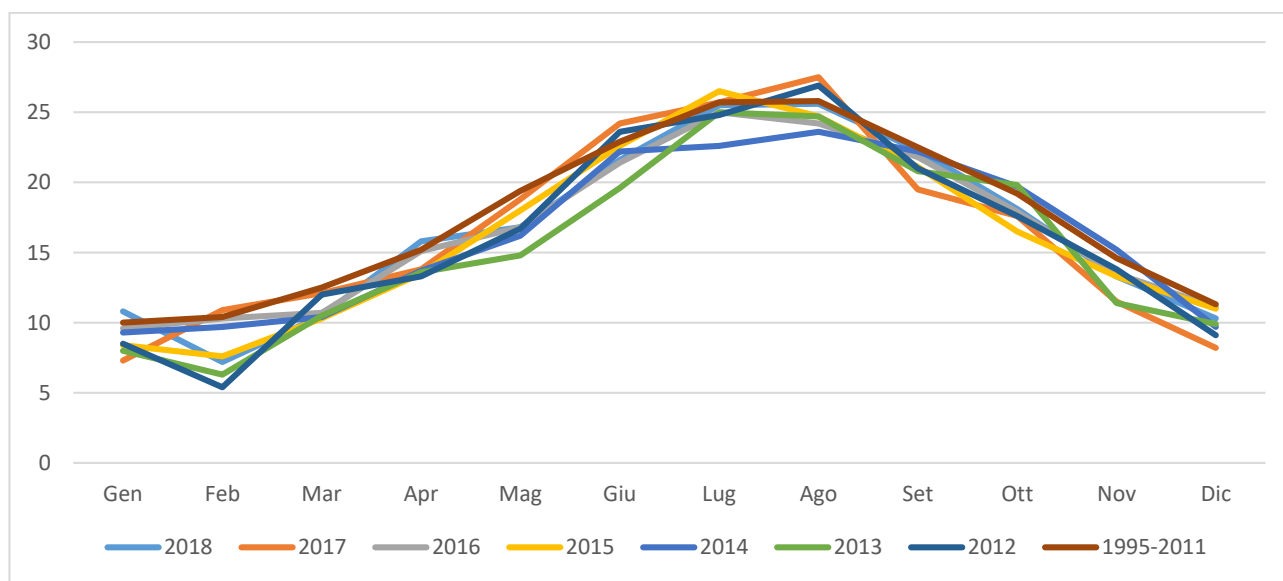


Figura 23 Temperature mensili (in °C, nell’asse delle ordinate) registrata nella stazione di Sassari per gli anni 2012-2018, e nella stazione di Fertilia per il periodo 1995-2011.

6.3. STIMA DELL’EVAPOTRASPIRAZIONE

L’ evapotraspirazione è uno dei parametri più significativi nell’ambito di un bilancio idrologico e rappresenta la perdita di una parte delle acque di precipitazione, per evaporazione dal suolo e per traspirazione della vegetazione. Viene calcolata tenendo conto della temperatura e delle precipitazioni, e

viene influenzata dalla nuvolosità, dall'umidità relativa e dalla ventosità. Nel grafico di Figura 24 è illustrata l'evapotraspirazione per la zona di interesse ricavata dai dati reperibili sul WebGIS dell'ARPAS.

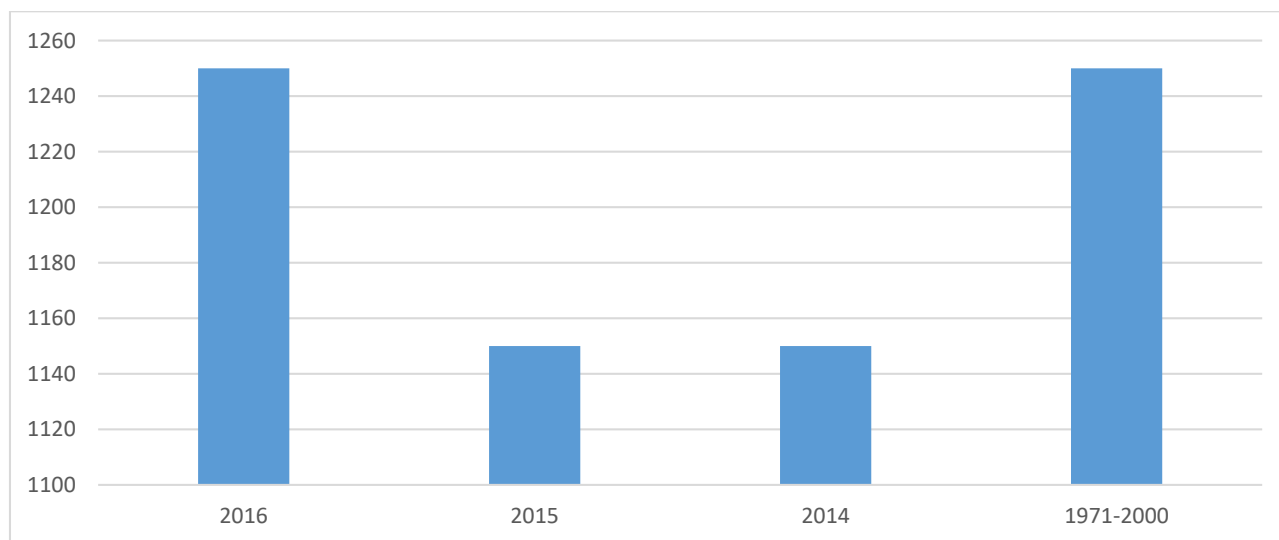


Figura 24 Evapotraspirazione (espressa in mm) per la zona di Sassari.

La nuvolosità influenza il clima in quanto da essa dipende l'irraggiamento solare. Nella tabella di Fig. 25, sono rappresentati i valori mensili di condizioni di sereno (nuvolosità < 2/8), nuvoloso (2/8 < nuvolosità < 6/8) e coperto (nuvolosità > 6/8), espressi in okta (stima di quanti ottavi di cielo sono oscurati dalle nuvole) e riferiti al periodo 1961 – 1990 per la stazione di Fertilia.

Gen	Feb	Mar	Apr	Mag	Giu	Lug	Ago	Set	Ott	Nov	Dic
4,7	4,7	4,6	4,5	3,8	3	1,7	2	2,9	3,6	4,4	4,6
coperto	coperto	coperto	coperto	coperto	sereno	sereno	sereno	sereno	coperto	coperto	coperto

Figura 25 media mensile dei giorni di sereno, nuvoloso e coperto per il periodo 1961-1990, relativa alla stazione di Fertilia, espressa in okta.

Dall'esame dei valori della tabella si evince che il massimo di giorni sereni si ha tra Giugno e Agosto mentre durante gli altri mesi è sempre presente una certa copertura. Il valore minimo di giornate nuvolose si ha nel mese di Luglio e il massimo si osserva nei mesi di Gennaio e Febbraio. Le giornate in condizioni di coperto raggiungono il massimo a Gennaio e minimo a Luglio.

Il clima è influenzato anche dall'andamento del vento al suolo (ventosità), che viene definito analizzandone l'intensità, la direzione e la frequenza.

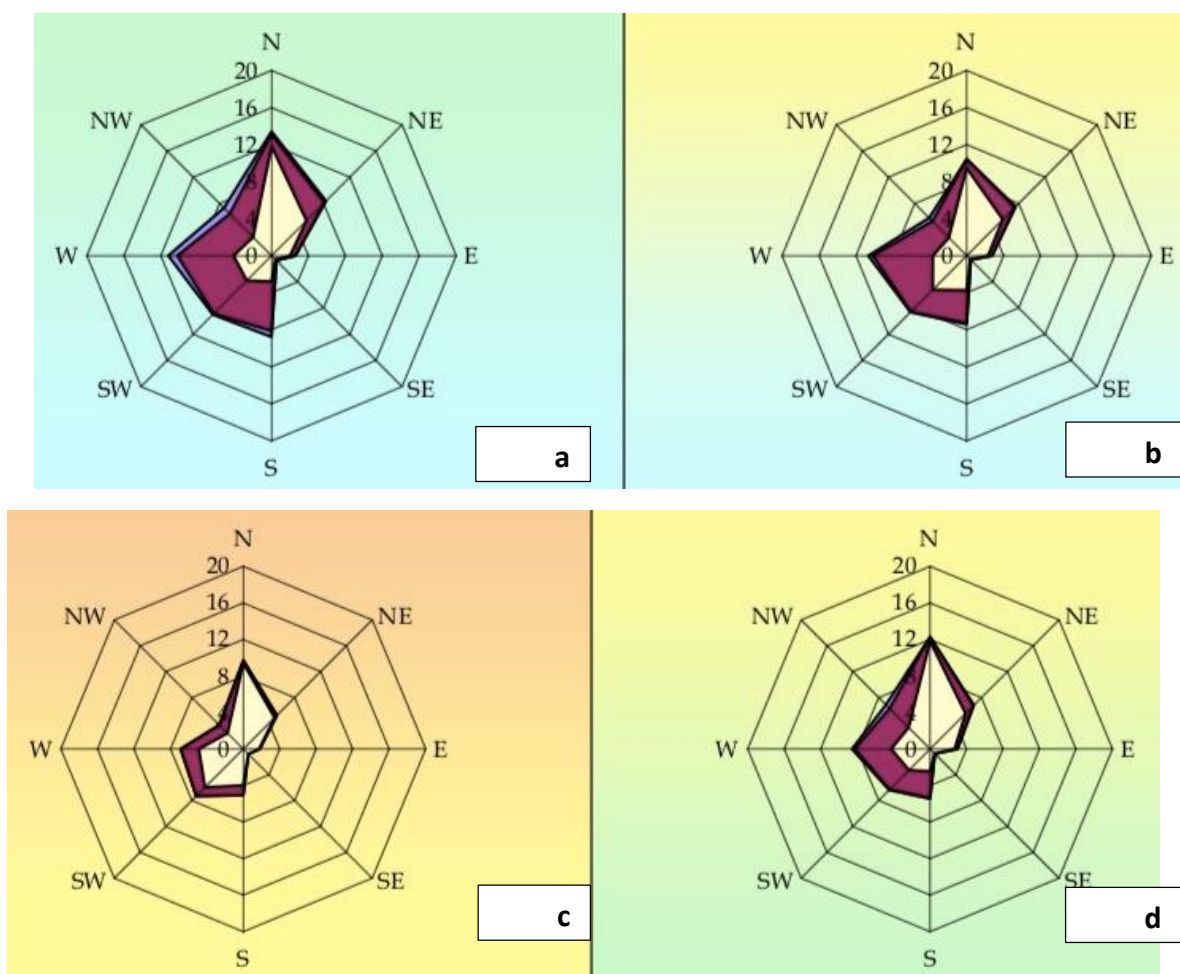


Figura 26 Ventosità media per inverno (a), primavera (b), estate (c), e autunno (d) durante il periodo 1971-2000 registrate nella stazione meteorologica di Fertilia.

Dall'analisi dei dati disponibili dalla Rete Mareografica dell'ISPRA, risulta che i venti provenienti dai quadranti settentrionali e occidentali sono in netta dominanza, in particolare quello più frequente proviene da W. Per il periodo considerato (1971-2000) nella stazione di Fertilia le percentuali di calma per le 4 stagioni sono state il 36% per l'inverno, il 44% per la primavera, il 59% per l'estate e il 48% per l'autunno.

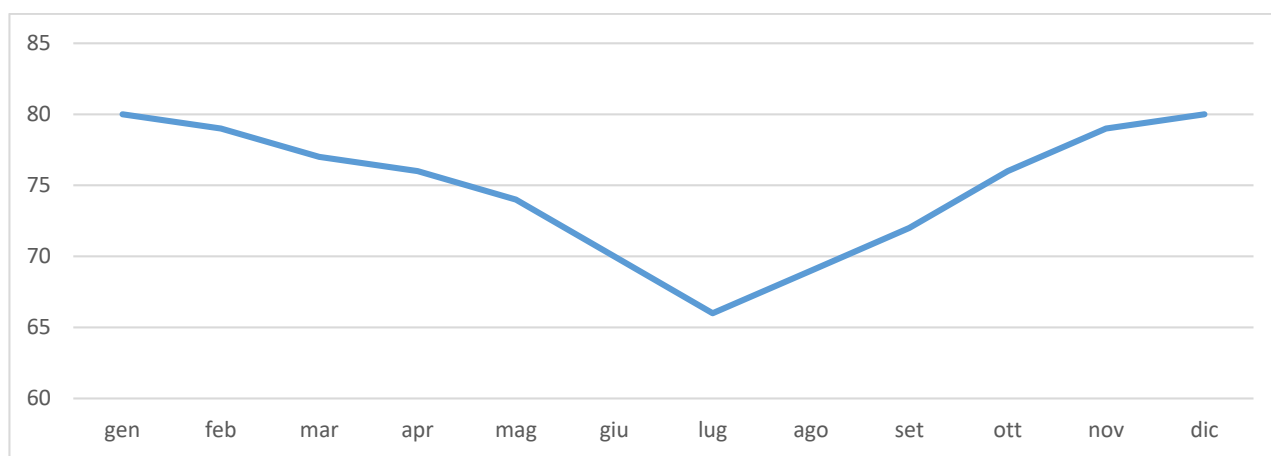


Figura 27 Umidità relativa per la stazione di Fertilia, per il periodo 1971-2000.

L'ultima variabile significativa che condiziona l'evapotraspirazione è l'umidità relativa, ossia il rapporto tra la quantità di vapore d'acqua contenuta in una massa d'aria rispetto e quella massima potenziale in relazione alla sua temperatura. Dalla tabella riportata in Fig.27, che riporta i valori dell'umidità relativa media mensile ed annuale della stazione di Fertilia per il periodo 1971-2000, si nota che tale valore raggiunge valori più elevati nei mesi invernali (Novembre-Febbraio) e valori minimi nel mese di Luglio.

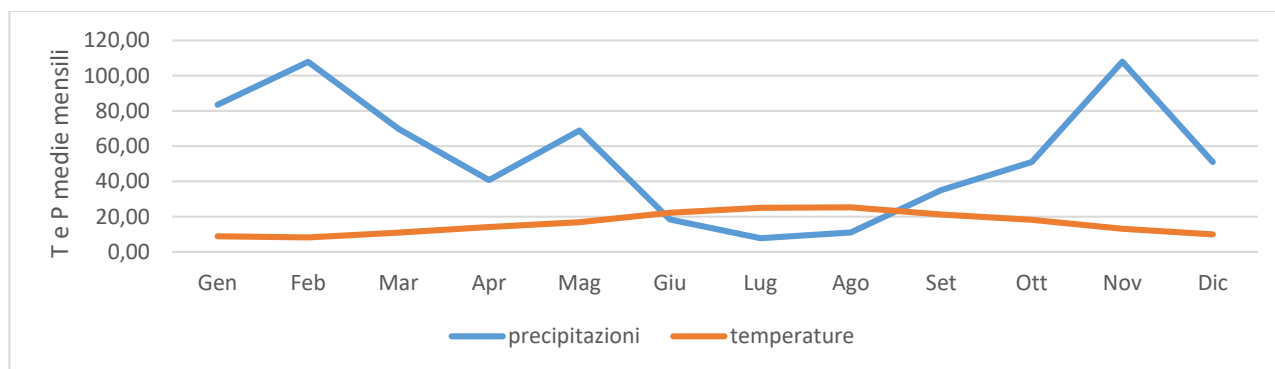


Figura 28 Diagramma ombrotermico (Walter e Lieth) per il settore di Sassari.

Il diagramma ombrotermico elaborato per l'area di **Li Molimenti** a partire dai dati sulla temperatura media e precipitazioni medie, permette di comparare contemporaneamente i regimi medi mensili termici e pluviometrici nell'arco del periodo considerato. L'andamento delle curve consente di visualizzare che nei mesi estivi, dove la temperatura media mensile raggiunge valori superiori ai 24 °C, si hanno i valori di piovosità inferiori, mentre nei mesi invernali, dove le temperature medie mensili sono pari a 9°C, si raggiungono le piovosità più elevate.

Il clima è caratterizzato da un periodo caldo con scarsa piovosità e uno più freddo e piovoso. Nel grafico di si nota che la curva delle precipitazioni giace al di sotto di quella delle temperature nei mesi estivi, che rappresentano il periodo secco in quanto prevale l'evapotraspirazione rispetto agli apporti idrici.

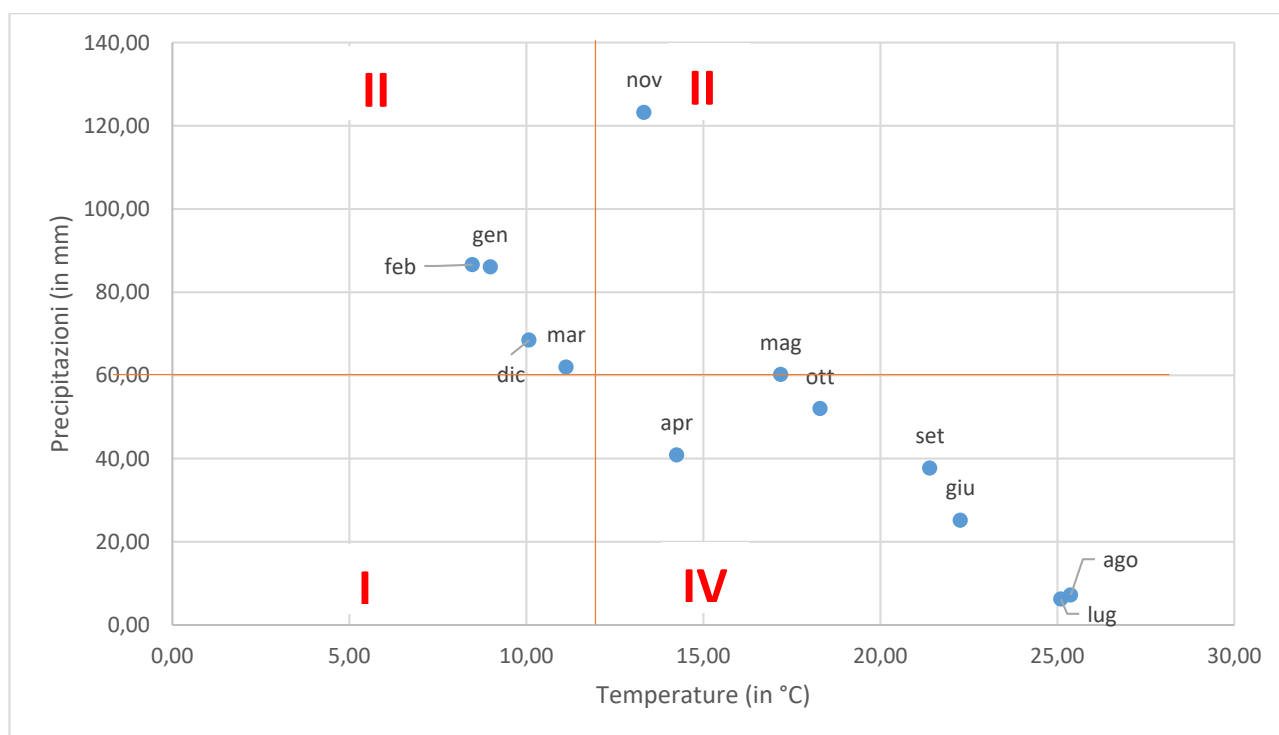


Figura 29 Climogramma relativo all'area di Sassari.

L'analisi delle medie mensili di temperatura e piovosità relative al periodo 2012-2018 permette di classificare il clima dell'area di interesse come "mediterraneo con estate calda", nel quale la temperatura media annua (16 °C), non scende mai sotto agli 8 °C, e per quattro mesi (Giugno-Settembre) supera i 22 °C, e le precipitazioni sono superiori ai 650 mm annui.

Dal climogramma realizzato a partire dai valori medi di precipitazioni e temperature relativi al periodo 2012-2018 per l'area di interesse, nel quale i quadranti definiscono le diverse tipologie di climi, ossia freddo arido (I), freddo umido (II), caldo umido (III) e caldo arido (IV), è evidente che il settore in studio è caratterizzato da due periodi, uno lungo di caldo arido ed uno limitato freddo umido.

La classificazione fatta sul clima della regione, è confermata anche dall'indice di aridità medio di Demartonne stimato per l'area in oggetto che ricade nel settore da "secco – sub-umido" a "subumido" per il periodo considerato.

L'analisi dei parametri meteorologici permette di confermare l'andamento climatico rilevato in quasi tutta la Sardegna, nettamente bistagionale con le stagioni caldo arida e fresca umida che si alternano nel corso dell'anno, intervallate da due brevi stagioni a carattere intermedio.

7. INQUADRAMENTO IDROGEOLOGICO

7.1. SCHEMA DELLA CIRCOLAZIONE IDRICA SUPERFICIALE

Secondo la classificazione dei bacini sardi riportata nel Piano di Assetto Idrogeologico, il comune di Sassari è incluso nel Sub – Bacino n° 3 “Coghinas – Mannu di P.Torres – Temo”, che si estende per una superficie di 5402 Km², pari al 23% del territorio regionale.

Il Sub-Bacino Coghinas-Mannu-Temo può essere suddiviso in tre grandi sotto insiemi: il settore Orientale e Sud-Orientale prevalentemente paleozoico, il settore centrale prevalentemente terziario, e il settore Nord-Occidentale, in cui ricade il progetto, costituito dallo zoccolo cristallino dell'horst della Gallura paleozoico e dalle formazioni carbonatiche mesozoiche che culminano con i rilievi del Doglia e del sistema di Punta Cristallo e di Capo Caccia.

Il reticolo idrografico su queste litologie è caratterizzato da una ramificazione poco sviluppata in tutta l'area vasta che include le zone di interesse per i progetti di installazione del parco fotovoltaico.

Lo sviluppo del reticolo idrografico è strettamente connesso alle caratteristiche chimico-fisiche delle rocce costituenti il substrato, e al controllo tettonico che si manifesta molto evidente su alcune linee di deflusso. Le rocce calcaree sono generalmente caratterizzate da importanti sistemi di giunti e discontinuità, spesso visibili ad occhio nudo, che influenzano la circolazione idrica superficiale che si presenta poco articolata, indice che l'aliquota d'acqua di infiltrazione è maggiore dell'acqua che prende parte al ruscellamento superficiale.

I corsi d'acqua principali presenti nell'area vasta sono il **Riu Mannu** che scorre a oriente, il più prossimo ai campi sui quali sarà situato il parco fotovoltaico, mentre a ovest scorre il Riu Don Gavinu.

Il reticolo idrografico sulle litologie affioranti è impostato su un sistema di valli e compluvi, ed è caratterizzato da una ramificazione ben sviluppata nell'area vasta, ma poco sviluppata nell'area di interesse per lo sviluppo del progetto che si trova prossima agli spartiacque dei



Figura 30 Suddivisione dei bacini idrografici sardi.

subbacini idrografici del Riu Mannu e del Riu Barca. A sud-est dell'impianto gli impluvi si organizzano in rii più evidenti che confluiscono al Riu Su Mattone affluente del Riu Barca.

Il Riu Mannu e i relativi affluenti scorre verso il mare a nord, mentre il Riu Don Gavinu e relativi affluenti, scorrono invece verso sud per confluire nel Riu Filibertu, che a sua volta si immette nel Rio Barca che sfocia a mare presso Alghero.

Lo sviluppo del reticolo idrografico è strettamente connesso alle caratteristiche chimico-fisiche delle rocce costituenti il substrato, e al controllo tettonico che si manifesta molto evidente su alcune linee di deflusso.

Gli impluvi costituiscono essenzialmente le aste tributarie di primo e secondo ordine dei torrenti che scorrono più a valle: essi presentano carattere essenzialmente torrentizio con deflussi stagionali legati strettamente alle precipitazioni. Lungo i versanti a maggiore pendenza i corsi d'acqua assumono un elevato potere erosivo, mentre solamente a valle, in corrispondenza di aste di ordine intermedio sono evidenti fenomeni di deposizione di coltri alluvionali di spessore molto modesto.

7.2. SCHEMA DELLA CIRCOLAZIONE IDRICA SOTTERRANEA

Uno studio idrogeologico ha lo scopo di identificare lo schema di circolazione idrica sotterranea relativo ad una determinata area per poter ricavare informazioni circa i rapporti tra litotipi presenti, la presenza di acqua e le possibili conseguenze derivanti dalla realizzazione di un'opera.

Nell'area di interesse sono presenti rocce di diversa natura, anche se principalmente sono da riferire al Mesozoico, in parte al Paleozoico e al Quaternario. Il basamento paleozoico è costituito principalmente da litologie impermeabili e di conseguenza nel complesso sfavorevoli alla ritenzione delle acque meteoriche, che si trovano quindi a scorrere in superficie, come è possibile vedere dallo sviluppo del reticolo idrografico superficiale nella parte occidentale dell'area vasta.

Le coperture mesozoiche e quaternarie su cui verranno installati i pannelli fotovoltaici in progetto, invece, per via della loro composizione prevalentemente carbonatica, sono favorevoli all'assorbimento delle acque, come è possibile vedere dall'assenza del reticolo idrografico superficiale.

Al contatto tra le coperture mesozoiche, più permeabili, e quelle paleozoiche alla base, meno permeabili, si possono sviluppare delle risorgive che hanno carattere prettamente stagionale legato all'andamento pluviometrico generale. Di seguito viene illustrato in uno schema il processo di infiltrazione accumulo e circolazione legato al regime delle piogge.

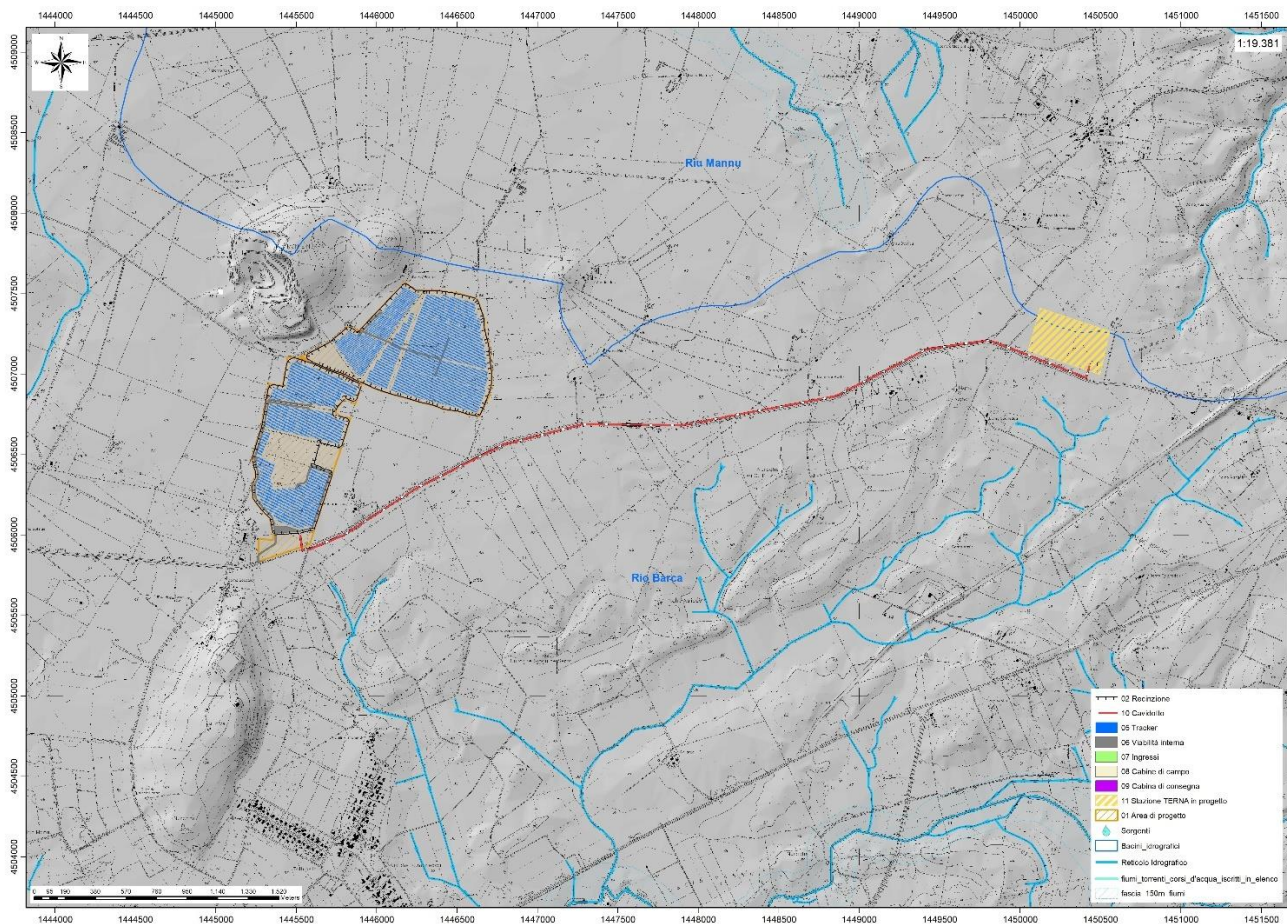


Figura 31 Carta dell'idrografia superficiale

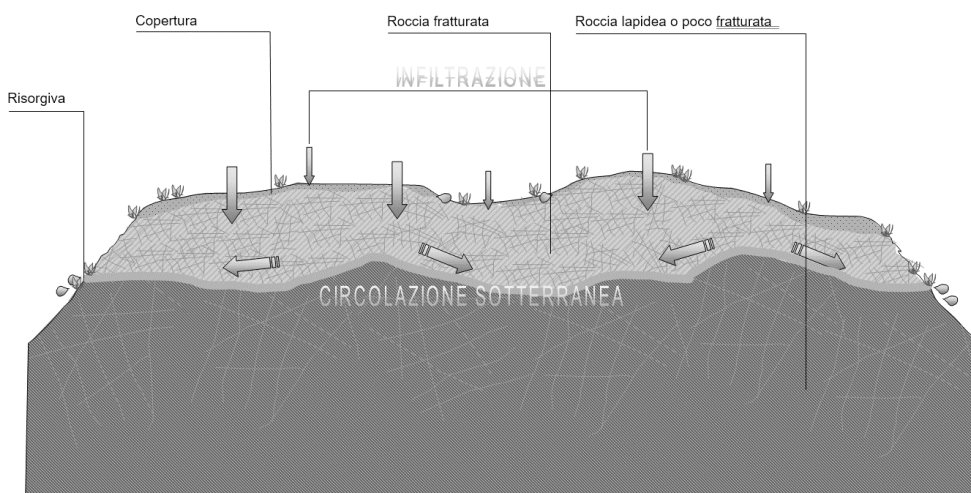


Figura 32 Schema esemplificativo, non in scala, dei processi di infiltrazione e deflusso sotterraneo

Gli afflussi che arrivano sul terreno sotto forma per lo più di piogge, più raramente e poco tempo di neve, in parte scorrono lungo la superficie in genere a lamina d'acqua per poi organizzarsi in deboli rivoli che si concentrano lungo gli impluvi fino a raggiungere le valli, mentre la frazione di acqua che non scorre in superficie in parte evapora e in parte si infiltra nel terreno e nella roccia sottostante scorrendo lungo le fratturazioni in maniera più o meno efficace in funzione del grado di apertura delle stesse.

Maggiore è la presenza di fratture e la porosità del mezzo, maggiore è la possibilità che l'acqua prosegua il suo percorso in profondità.

Da un punto di vista idrogeologico le formazioni dell'area di studio possono essere divise in tre gruppi principali:

- Coperture mesozoiche. Tali coperture sono costituite da litotipi a permeabilità medio-alta dovuta sia alla porosità delle arenarie e dei calcari che alla permeabilità per fratturazione e carsismo delle rocce carbonatiche presenti in tutta l'area di interesse.
- Coperture sedimentarie oligo-mioceniche. Affiorano nella porzione occidentale e nord-orientale dell'area di interesse, e sono costituite da depositi caratterizzati da porosità medio bassa per porosità o medio bassa per fratturazione.
- Depositi quaternari. I depositi quaternari occupano aree molto limitate nella parte centrale e meridionale dell'area di interesse raggiungendo spessori poco significativi, con una permeabilità medio-alta per porosità. I depositi di versante essendo in gran parte costituiti da una struttura clasto-sostenuta e scarsa matrice (falde di detrito), presentano una permeabilità molto elevata, in ogni caso i loro spessori esigui non garantiscono una potenza sufficiente per generare acquiferi significativi.

Le litologie che interessano l'area di progetto presentano una **permeabilità alta per carsismo e fratturazione (ACF)**, **permeabilità bassa per porosità (BP)** e **permeabilità media per fratturazione (MF)**, come è possibile vedere dalla Carta delle permeabilità resa disponibile Geoportale della Regione Autonoma della Sardegna.

Dalla carta dei sistemi idrogeologici del foglio 459 “Sassari”, si possono osservare le isopieze relative al complesso calcareo, le quali presentano direzioni di deflusso da sud-ovest verso nord-est.

Al complesso calcareo viene attribuita una conducibilità idraulica di **$k = 10^{-4}$** e al complesso calcareo marnoso una conducibilità idraulica di **$k = 10^{-5}$** .

Dai dati estrapolati dall'archivio Nazionale Delle Indagini Del Sottosuolo (L.464/1984) relativi alle perforazioni (Codice 173121,173748 e 174467) prossimi al sito di intervento rileva la prima falda tra i 70m e gli 80m da p.c. sul substrato calcareo.



Figura 33 Ubicazione pozzi esistenti (Fonte Archivio Nazionale sulle indagini nel sottosuolo)

ISPR - Istituto Superiore per la Protezione e la Ricerca Ambientale		ISPR - Istituto Superiore per la Protezione e la Ricerca Ambientale		ISPR - Istituto Superiore per la Protezione e la Ricerca Ambientale																																																	
Archivio nazionale delle indagini nel sottosuolo (Legge 464/1984)		Archivio nazionale delle indagini nel sottosuolo (Legge 464/1984)		Archivio nazionale delle indagini nel sottosuolo (Legge 464/1984)																																																	
Dati generali		Dati generali		Dati generali																																																	
Codice: 173121 Regione: SARDEGNA Provincia: SASSARI Comune: SASSARI Tipologia: PERFORAZIONE Opera: POZZO PER ACQUA Profondità (m): 100,00 Quota pc s/m (m): 70,00 Anno realizzazione: 2001 Numero diametri: 1 Presenza acqua: SI Portata massima (l/s): 0,750 Portata esercizio (l/s): 0,500 Numero falde: 1 Numero filtri: 1 Numero piezometriche: 0 Stratigrafia: S1 Certificazione(*): SI Numero strati: 1 Longitudine WGS84 (dd): 8° 33'59.97" Latitudine WGS84 (dd): 40° 20'20.21" Longitudine WGS84 (dms): 8° 21' 34.55" E Latitudine WGS84 (dms): 40° 43' 34.44" N (*)Indica la presenza di un professionista nella compilazione della stratigrafia		Codice: 173748 Regione: SARDEGNA Provincia: SASSARI Comune: SASSARI Tipologia: PERFORAZIONE Opera: POZZO PER ACQUA Profondità (m): 85,00 Quota pc s/m (m): 58,00 Anno realizzazione: 1993 Numero diametri: 1 Presenza acqua: SI Portata massima (l/s): 0,400 Portata esercizio (l/s): 0,300 Numero falde: 1 Numero filtri: 0 Numero piezometriche: 1 Stratigrafia: S1 Certificazione(*): SI Numero strati: 2 Longitudine WGS84 (dd): 8° 36'20.08" Latitudine WGS84 (dd): 40° 20'73.39" Longitudine WGS84 (dms): 8° 21' 47.55" E Latitudine WGS84 (dms): 40° 42' 26.43" N (*)Indica la presenza di un professionista nella compilazione della stratigrafia		Codice: 174467 Regione: SARDEGNA Provincia: SASSARI Comune: SASSARI Tipologia: PERFORAZIONE Opera: POZZO PER ACQUA Profondità (m): 100,00 Quota pc s/m (m): 74,00 Anno realizzazione: 1998 Numero diametri: 1 Presenza acqua: SI Portata massima (l/s): 1,000 Portata esercizio (l/s): 0,500 Numero falde: 2 Numero filtri: 0 Numero piezometriche: 1 Stratigrafia: S3 Certificazione(*): SI Numero strati: 2 Longitudine WGS84 (dd): 8° 33'56.53" Latitudine WGS84 (dd): 40° 17'59.95" Longitudine WGS84 (dms): 8° 21' 37.56" E Latitudine WGS84 (dms): 40° 42' 57.42" N (*)Indica la presenza di un professionista nella compilazione della stratigrafia																																																	
DIAMETRI PERFORAZIONE <table border="1"> <thead> <tr> <th>Progr.</th> <th>Da profondità (m)</th> <th>A profondità (m)</th> <th>Lunghezza (m)</th> <th>Diametro (mm)</th> </tr> </thead> <tbody> <tr> <td>1</td> <td>0,00</td> <td>100,00</td> <td>100,00</td> <td>219</td> </tr> </tbody> </table>		Progr.	Da profondità (m)	A profondità (m)	Lunghezza (m)	Diametro (mm)	1	0,00	100,00	100,00	219	DIAMETRI PERFORAZIONE <table border="1"> <thead> <tr> <th>Progr.</th> <th>Da profondità (m)</th> <th>A profondità (m)</th> <th>Lunghezza (m)</th> <th>Diametro (mm)</th> </tr> </thead> <tbody> <tr> <td>1</td> <td>0,00</td> <td>85,00</td> <td>85,00</td> <td>220</td> </tr> </tbody> </table>		Progr.	Da profondità (m)	A profondità (m)	Lunghezza (m)	Diametro (mm)	1	0,00	85,00	85,00	220	DIAMETRI PERFORAZIONE <table border="1"> <thead> <tr> <th>Progr.</th> <th>Da profondità (m)</th> <th>A profondità (m)</th> <th>Lunghezza (m)</th> <th>Diametro (mm)</th> </tr> </thead> <tbody> <tr> <td>1</td> <td>0,00</td> <td>100,00</td> <td>100,00</td> <td>350</td> </tr> </tbody> </table>		Progr.	Da profondità (m)	A profondità (m)	Lunghezza (m)	Diametro (mm)	1	0,00	100,00	100,00	350																		
Progr.	Da profondità (m)	A profondità (m)	Lunghezza (m)	Diametro (mm)																																																	
1	0,00	100,00	100,00	219																																																	
Progr.	Da profondità (m)	A profondità (m)	Lunghezza (m)	Diametro (mm)																																																	
1	0,00	85,00	85,00	220																																																	
Progr.	Da profondità (m)	A profondità (m)	Lunghezza (m)	Diametro (mm)																																																	
1	0,00	100,00	100,00	350																																																	
FALDE ACQUIFERE <table border="1"> <thead> <tr> <th>Progr.</th> <th>Da profondità (m)</th> <th>A profondità (m)</th> <th>Lunghezza (m)</th> </tr> </thead> <tbody> <tr> <td>1</td> <td>70,00</td> <td>76,00</td> <td>6,00</td> </tr> </tbody> </table>		Progr.	Da profondità (m)	A profondità (m)	Lunghezza (m)	1	70,00	76,00	6,00	FALDE ACQUIFERE <table border="1"> <thead> <tr> <th>Progr.</th> <th>Da profondità (m)</th> <th>A profondità (m)</th> <th>Lunghezza (m)</th> </tr> </thead> <tbody> <tr> <td>1</td> <td>80,00</td> <td>82,00</td> <td>2,00</td> </tr> </tbody> </table>		Progr.	Da profondità (m)	A profondità (m)	Lunghezza (m)	1	80,00	82,00	2,00	FALDE ACQUIFERE <table border="1"> <thead> <tr> <th>Progr.</th> <th>Da profondità (m)</th> <th>A profondità (m)</th> <th>Lunghezza (m)</th> </tr> </thead> <tbody> <tr> <td>2</td> <td>78,00</td> <td>78,00</td> <td>0,00</td> </tr> <tr> <td>1</td> <td>36,00</td> <td>36,00</td> <td>0,00</td> </tr> </tbody> </table>		Progr.	Da profondità (m)	A profondità (m)	Lunghezza (m)	2	78,00	78,00	0,00	1	36,00	36,00	0,00																				
Progr.	Da profondità (m)	A profondità (m)	Lunghezza (m)																																																		
1	70,00	76,00	6,00																																																		
Progr.	Da profondità (m)	A profondità (m)	Lunghezza (m)																																																		
1	80,00	82,00	2,00																																																		
Progr.	Da profondità (m)	A profondità (m)	Lunghezza (m)																																																		
2	78,00	78,00	0,00																																																		
1	36,00	36,00	0,00																																																		
MISURE PIEZOMETRICHE <table border="1"> <thead> <tr> <th>Data rilevamento</th> <th>Livello statico (m)</th> <th>Livello dinamico (m)</th> <th>Abbassamento (m)</th> <th>Portata (l/s)</th> </tr> </thead> <tbody> <tr> <td>mag/1993</td> <td>10,00</td> <td>25,00</td> <td>15,00</td> <td>0,500</td> </tr> </tbody> </table>		Data rilevamento	Livello statico (m)	Livello dinamico (m)	Abbassamento (m)	Portata (l/s)	mag/1993	10,00	25,00	15,00	0,500	MISURE PIEZOMETRICHE <table border="1"> <thead> <tr> <th>Data rilevamento</th> <th>Livello statico (m)</th> <th>Livello dinamico (m)</th> <th>Abbassamento (m)</th> <th>Portata (l/s)</th> </tr> </thead> <tbody> <tr> <td>feb/1998</td> <td>48,00</td> <td>72,00</td> <td>24,00</td> <td>1,000</td> </tr> </tbody> </table>		Data rilevamento	Livello statico (m)	Livello dinamico (m)	Abbassamento (m)	Portata (l/s)	feb/1998	48,00	72,00	24,00	1,000	MISURE PIEZOMETRICHE <table border="1"> <thead> <tr> <th>Data rilevamento</th> <th>Livello statico (m)</th> <th>Livello dinamico (m)</th> <th>Abbassamento (m)</th> <th>Portata (l/s)</th> </tr> </thead> <tbody> <tr> <td>feb/1998</td> <td>48,00</td> <td>72,00</td> <td>24,00</td> <td>1,000</td> </tr> </tbody> </table>		Data rilevamento	Livello statico (m)	Livello dinamico (m)	Abbassamento (m)	Portata (l/s)	feb/1998	48,00	72,00	24,00	1,000																		
Data rilevamento	Livello statico (m)	Livello dinamico (m)	Abbassamento (m)	Portata (l/s)																																																	
mag/1993	10,00	25,00	15,00	0,500																																																	
Data rilevamento	Livello statico (m)	Livello dinamico (m)	Abbassamento (m)	Portata (l/s)																																																	
feb/1998	48,00	72,00	24,00	1,000																																																	
Data rilevamento	Livello statico (m)	Livello dinamico (m)	Abbassamento (m)	Portata (l/s)																																																	
feb/1998	48,00	72,00	24,00	1,000																																																	
STRATIGRAFIA <table border="1"> <thead> <tr> <th>Progr.</th> <th>Da profondità (m)</th> <th>A profondità (m)</th> <th>Spessore (m)</th> <th>Età geologica</th> <th>Descrizione litologica</th> </tr> </thead> <tbody> <tr> <td>1</td> <td>0,00</td> <td>100,00</td> <td>100,00</td> <td>QUATERNARIO</td> <td>DEPOSITI ALLUVIONALE LIMOSSI E ARGILLO SABBIOSI DI COLORE CACCIO CON FRANGI PIETRAMENTE ARGILLOSI SOPRANTANTI IL SUBSTRATO CARBONATICO</td> </tr> </tbody> </table>		Progr.	Da profondità (m)	A profondità (m)	Spessore (m)	Età geologica	Descrizione litologica	1	0,00	100,00	100,00	QUATERNARIO	DEPOSITI ALLUVIONALE LIMOSSI E ARGILLO SABBIOSI DI COLORE CACCIO CON FRANGI PIETRAMENTE ARGILLOSI SOPRANTANTI IL SUBSTRATO CARBONATICO	STRATIGRAFIA <table border="1"> <thead> <tr> <th>Progr.</th> <th>Da profondità (m)</th> <th>A profondità (m)</th> <th>Spessore (m)</th> <th>Età geologica</th> <th>Descrizione litologica</th> </tr> </thead> <tbody> <tr> <td>1</td> <td>0,00</td> <td>1,00</td> <td>1,00</td> <td>TERRENO AGRARIO</td> <td>TERRENO AGRARIO</td> </tr> <tr> <td>2</td> <td>1,00</td> <td>85,00</td> <td>84,00</td> <td>ROCCIA CALCEARIA INTERVALLAIA A STRATI FERROSI</td> <td>ROCCIA CALCEARIA</td> </tr> </tbody> </table>		Progr.	Da profondità (m)	A profondità (m)	Spessore (m)	Età geologica	Descrizione litologica	1	0,00	1,00	1,00	TERRENO AGRARIO	TERRENO AGRARIO	2	1,00	85,00	84,00	ROCCIA CALCEARIA INTERVALLAIA A STRATI FERROSI	ROCCIA CALCEARIA	STRATIGRAFIA <table border="1"> <thead> <tr> <th>Progr.</th> <th>Da profondità (m)</th> <th>A profondità (m)</th> <th>Spessore (m)</th> <th>Età geologica</th> <th>Descrizione litologica</th> </tr> </thead> <tbody> <tr> <td>1</td> <td>0,00</td> <td>0,60</td> <td>0,60</td> <td>TERRENO VEGETALE</td> <td>TERRENO VEGETALE</td> </tr> <tr> <td>2</td> <td>0,60</td> <td>100,00</td> <td>99,40</td> <td>ROCCIA CALCEARIA</td> <td>ROCCIA CALCEARIA</td> </tr> </tbody> </table>		Progr.	Da profondità (m)	A profondità (m)	Spessore (m)	Età geologica	Descrizione litologica	1	0,00	0,60	0,60	TERRENO VEGETALE	TERRENO VEGETALE	2	0,60	100,00	99,40	ROCCIA CALCEARIA	ROCCIA CALCEARIA
Progr.	Da profondità (m)	A profondità (m)	Spessore (m)	Età geologica	Descrizione litologica																																																
1	0,00	100,00	100,00	QUATERNARIO	DEPOSITI ALLUVIONALE LIMOSSI E ARGILLO SABBIOSI DI COLORE CACCIO CON FRANGI PIETRAMENTE ARGILLOSI SOPRANTANTI IL SUBSTRATO CARBONATICO																																																
Progr.	Da profondità (m)	A profondità (m)	Spessore (m)	Età geologica	Descrizione litologica																																																
1	0,00	1,00	1,00	TERRENO AGRARIO	TERRENO AGRARIO																																																
2	1,00	85,00	84,00	ROCCIA CALCEARIA INTERVALLAIA A STRATI FERROSI	ROCCIA CALCEARIA																																																
Progr.	Da profondità (m)	A profondità (m)	Spessore (m)	Età geologica	Descrizione litologica																																																
1	0,00	0,60	0,60	TERRENO VEGETALE	TERRENO VEGETALE																																																
2	0,60	100,00	99,40	ROCCIA CALCEARIA	ROCCIA CALCEARIA																																																

Figura 34 Monografie pozzi esistenti (Fonte Archivio Nazionale sulle indagini nel sottosuolo)

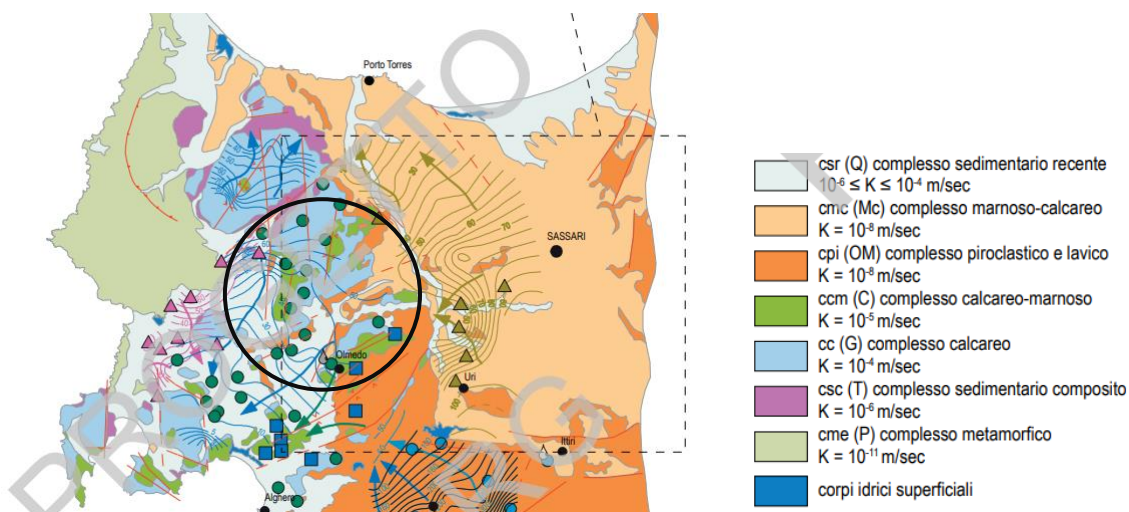


Figura 35 Sistemi idrogeologici dell'area occidentale del foglio 459 "Sassari"

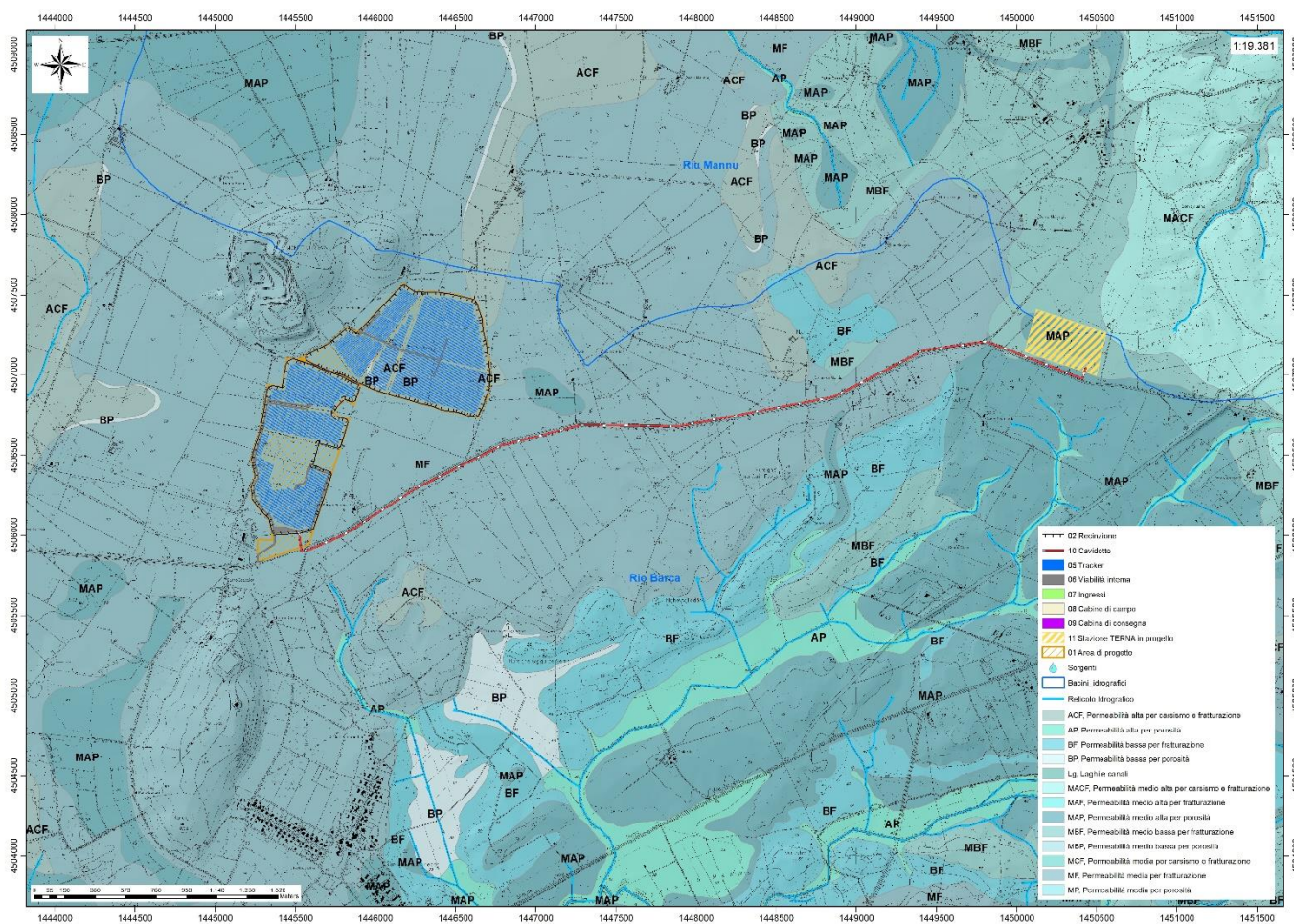


Figura 36 Carta delle permeabilità dei substrati

7.3. DISSESTI IN ATTO O POTENZIALI CHE POSSONO INTERFERIRE CON L'OPERA E LORO TENDENZA EVOLUTIVA

La predisposizione naturale di un territorio a fenomeni di instabilità legata alle dinamiche geomorfologiche deriva in generale dall'interazione di diversi fattori come natura geologica dei terreni, loro assetto sia deposizionale che geostrutturale, circolazione delle acque superficiali e sotterranee con la morfologia cioè la geometria del territorio.

L'area oggetto di intervento, in base delle caratteristiche suddette non presenta allo stato attuale evidenze di dissesto di natura geologico-geomorfologica in atto o potenziale escludendo la naturale evoluzione del pendio.

Lo studio idraulico ex Art.8 c.2 delle NTA PAI e realizzato dal comune nel 2014 e successivamente aggiornato nel 2022 con lo studio degli attraversamenti ex art.37 NTA PAI, riporta lo studio dell'asta fluviale di interesse al progetto facente parte del Bacino Idrografico Rio Barca e Rio su Mattone sub bacino 3.

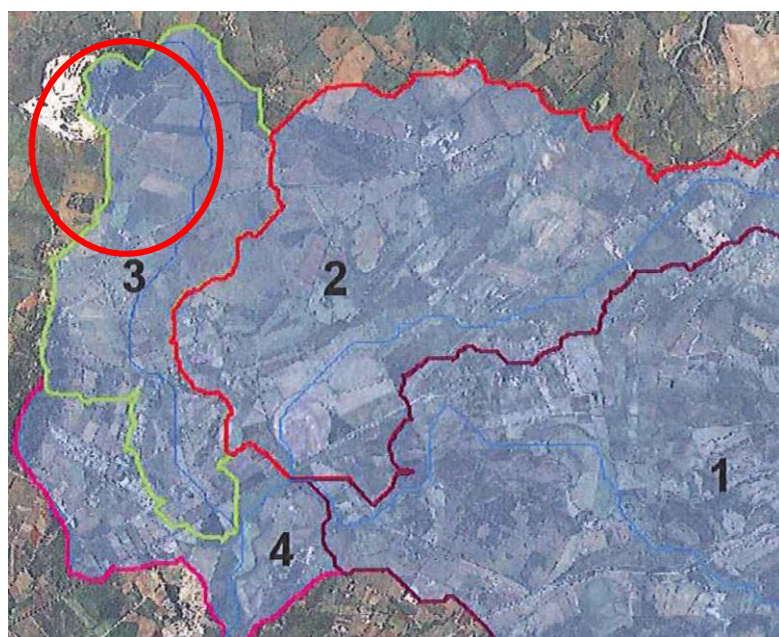


Figura 37 Caratteristiche geometriche e pedologiche dei sottobacini del Rio Barca e del Rio Mattone. (L'area di interesse è cerchiata in rosso)

BACINI	1	2	3
CN(III)	94.51	94.78	94.77
Lunghezza asta principale (m)	12385	7746	6186
Area (kmq)	23.79	12.7	6.06
Pendenza media bacino	0.0751	0.0337	0.0394
Altezza massima bacino	234.39	104.69	141.23
Altezza media bacino	96.52	61.65	59.49
Altezza alla sezione di chiusura (m)	34.85	34.96	35.03
Pendenza media asta principale	0.0148	0.0083	0.0158

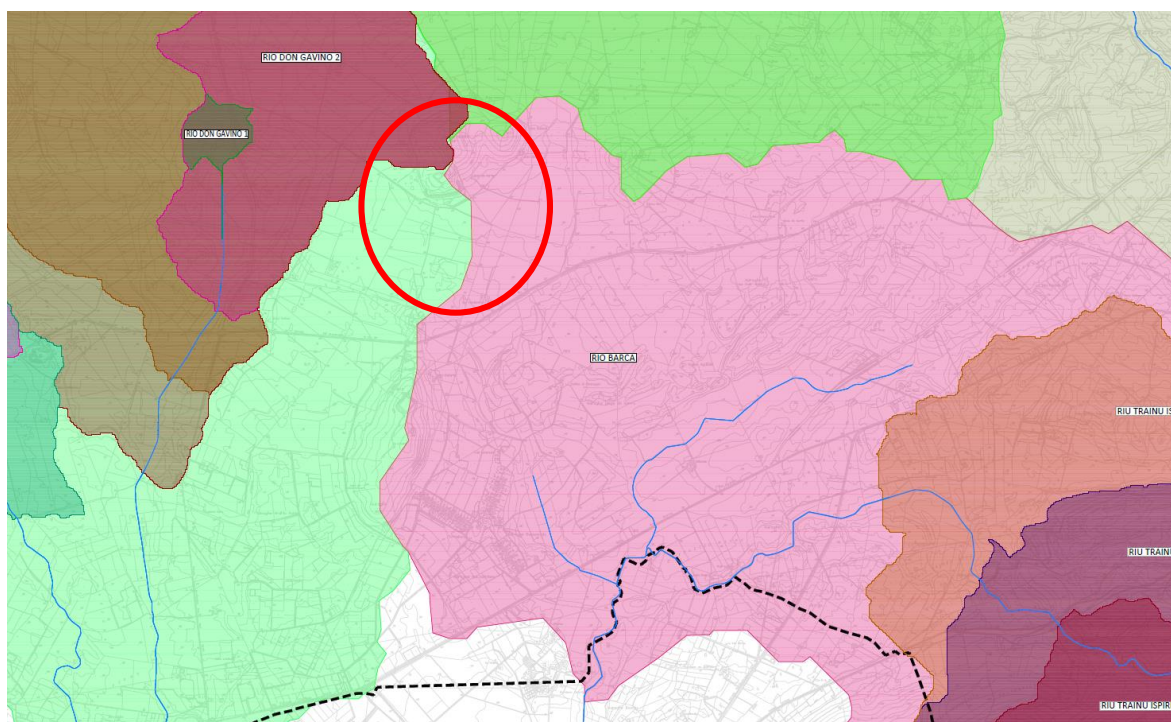


Figura 38 Sottobacini del Bacino idrografico del Rio Barca - studio Art.37 NTA PAI (2022)

RIO BARCA - RIO SU MATTONE
SCALA 1:40.000

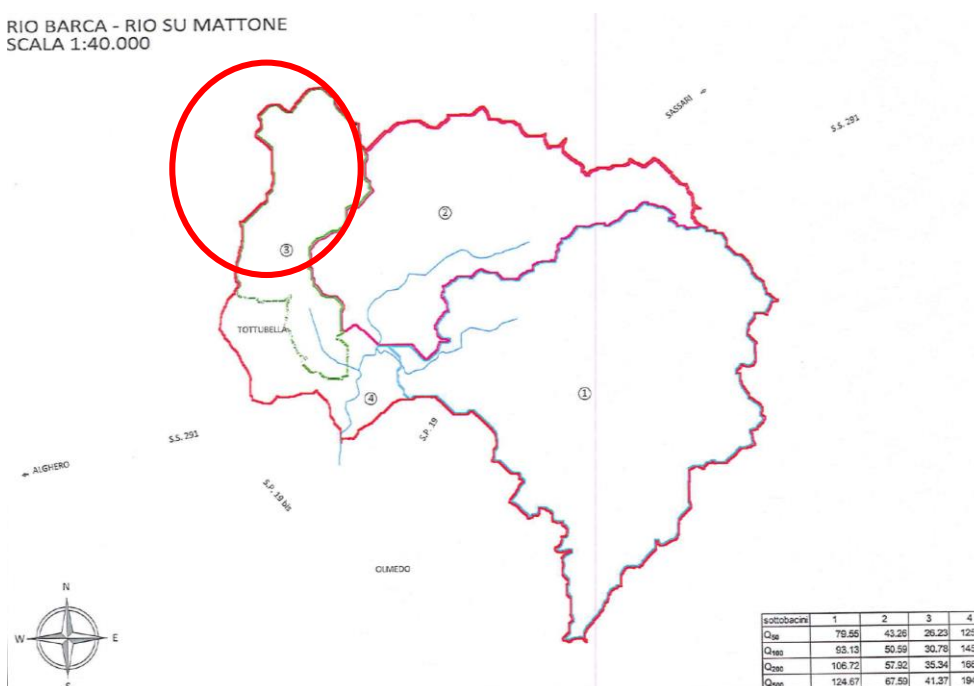


Figura 39 Sottobacini del Bacino idrografico del Rio Barca e Rio Mattone - studio Art.8 NTA PAI (2014)

RIO BARCA - 3		TR (anni)	50	100	200	500
Lunghezza asta	L	(m)	6186	6186	6186	6186
Curve Number	CN		94.77	94.77	94.77	94.77
Pend.za media bac.	i_{bac}		0.0394	0.0394	0.0394	0.0394
Area bacino	A	(kmq)	6.06	6.06	6.06	6.06
Altitudine massima	Hmax	m slm	141.23	141.23	141.23	141.23
Altitudine media	Hmed	m slm	59.49	59.49	59.49	59.49
Altitudine minima	Hmin	m slm	35.03	35.03	35.03	35.03
Pend.za media asta	iret		0.0158	0.0158	0.0158	0.0158
Tempi di corrivazione	tc (SCS)	(min)	168.16	168.16	168.16	168.16
	SCS	(ore)	2.80	2.80	2.80	2.80
	GIANDOTTI	(ore)	4.83	4.83	4.83	4.83
	PASINI	(ore)	2.88	2.88	2.88	2.88
	VAPI	(ore)	2.98	2.98	2.98	2.98
	KIRPICH	(ore)	1.88	1.88	1.88	1.88
	tc adott.	(ore)	3.504	3.504	3.504	3.504
Tempi di ritorno	T	(anni)	50	100	200	500
Calcolo altezza di pioggia	Pglorn.	(mm)	50	50	50	50
	Sottozona		2	2	2	2
	n1		0.3157097	0.3157097	0.31571	0.31571
	a1		20.691414	20.691414	20.69141	20.69141
	n2 (ADOTTATO)		-0.012603	-0.013834	-0.01506	-0.016691
	a2 (ADOTTATO)		2.2795959	2.60522	2.930844	3.361296
	n (ADOTTATO)		0.3031064	0.301876	0.300646	0.299019
	a (ADOTTATO)		47.168062	53.905686	60.64331	69.54996
	h (ADOTTATO)	(mm)	68.979	78.711	88.412	101.191
	S	(mm)	14.017	14.017	14.017	14.017
	la	(mm)	2.803	2.803	2.803	2.803
Pnetta (ADOTTATO)	(mm)	54.609	64.075	73.564	86.118	
Coef.defl. (ADOTTATO)		0.792	0.814	0.832	0.851	
Coef.defl. Ragg.		0.954	0.954	0.954	0.954	
PORTATA DI PIENA	Qpicco (ADOTTATO)	(mc/s)	26.232	30.780	35.338	41.369

Figura 40 Dati di portata del sottobacino 3 del Rio Barca - studio Art.37 NTA PAI (2022)

8. INQUADRAMENTO PEDOLOGICO E USO DEL SUOLO

Le tipologie di suolo sono legate per geni alle caratteristiche delle formazioni geo-litologiche presenti e all’assetto idraulico di superficie nonché ai diversi aspetti morfologici, climatici e vegetazionali. Poiché la litologia del substrato o della roccia madre ha una importanza fondamentale quale fattore nella pedogenesi dei suoli, le unità principali sono state delimitate in funzione delle formazioni geologiche prevalenti, e successivamente all’interno di esse sono state individuate unità, distinte dalla morfologia del rilievo, dall’acclività e dall’uso del suolo prevalente.

L’area di progetto su cui verranno installati i pannelli ricade nei paesaggi su:

- “Calcarei, dolomie e calcari dolomitici del Paleozoico e del Mesozoico e relativi depositi di versante” con Profili A-R, A-Bt-R e A-Bw-R e roccia affiorante, da poco profondi a profondi, da franco sabbioso argillosi ad argillosi, da mediamente a poco permeabili, neutri, saturi; cui sono associati suoli dell’unità A2 e della Carta dei Suoli della Sardegna.

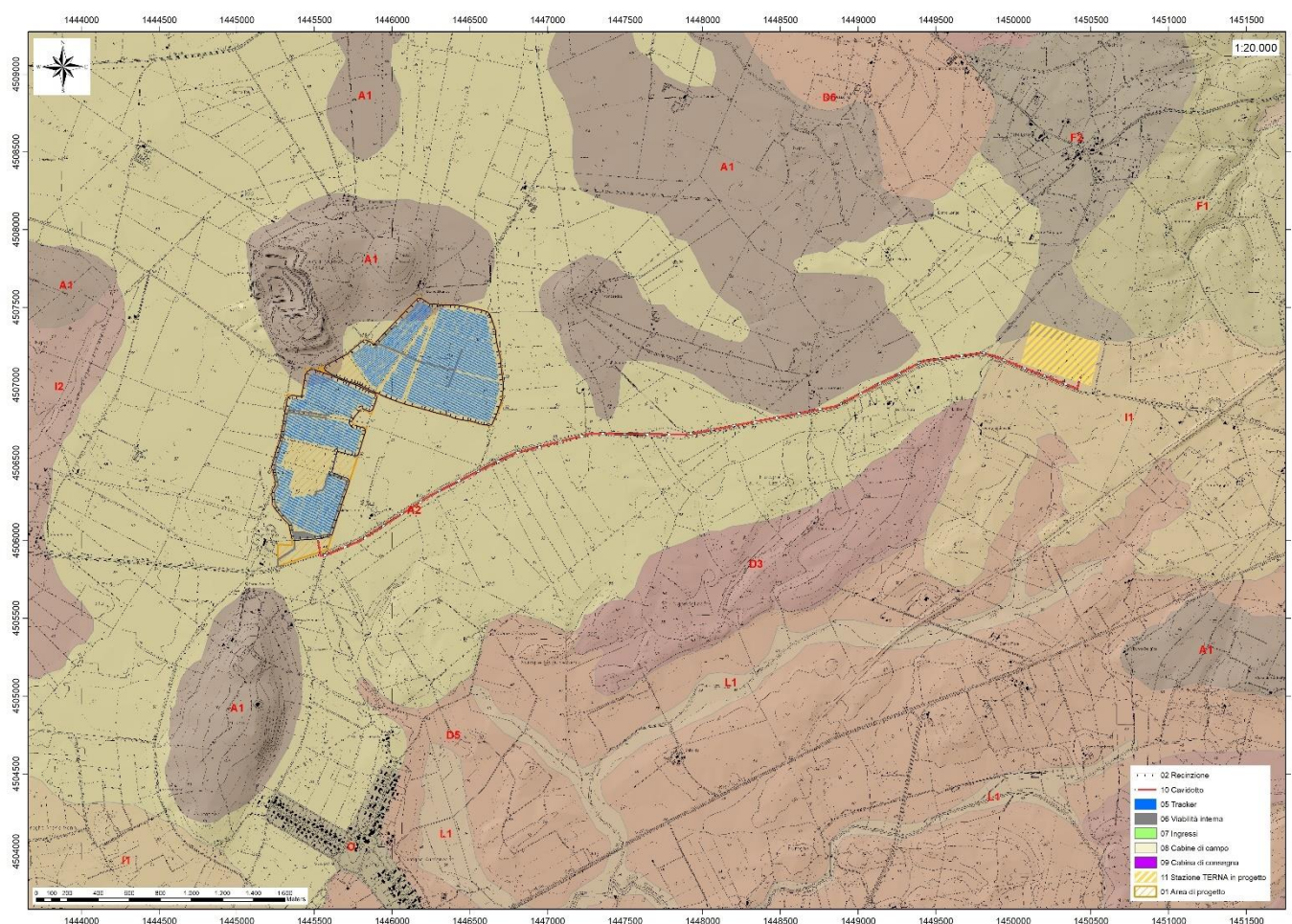


Figura 41 Stralcio della Carta dei Suoli della Sardegna (Fonte RAS)

Dalla Carta dell’Uso del Suolo, resa disponibile dalla Regione Sardegna, si evince che l’ambito di progetto del parco agrivoltaico si inserisce in un contesto in cui l’utilizzo è classificato come

- **2121 SEMINATIVI SEMPLICI E COLTURE ORTICOLE A PIENO CAMPO**

Nell’area vasta sono presenti:

- 3111 BOSCO DI LATIFOGIE
- 2112 PRATI ARTIFICIALI
- 3231 MACCHIA MEDITERRANEA

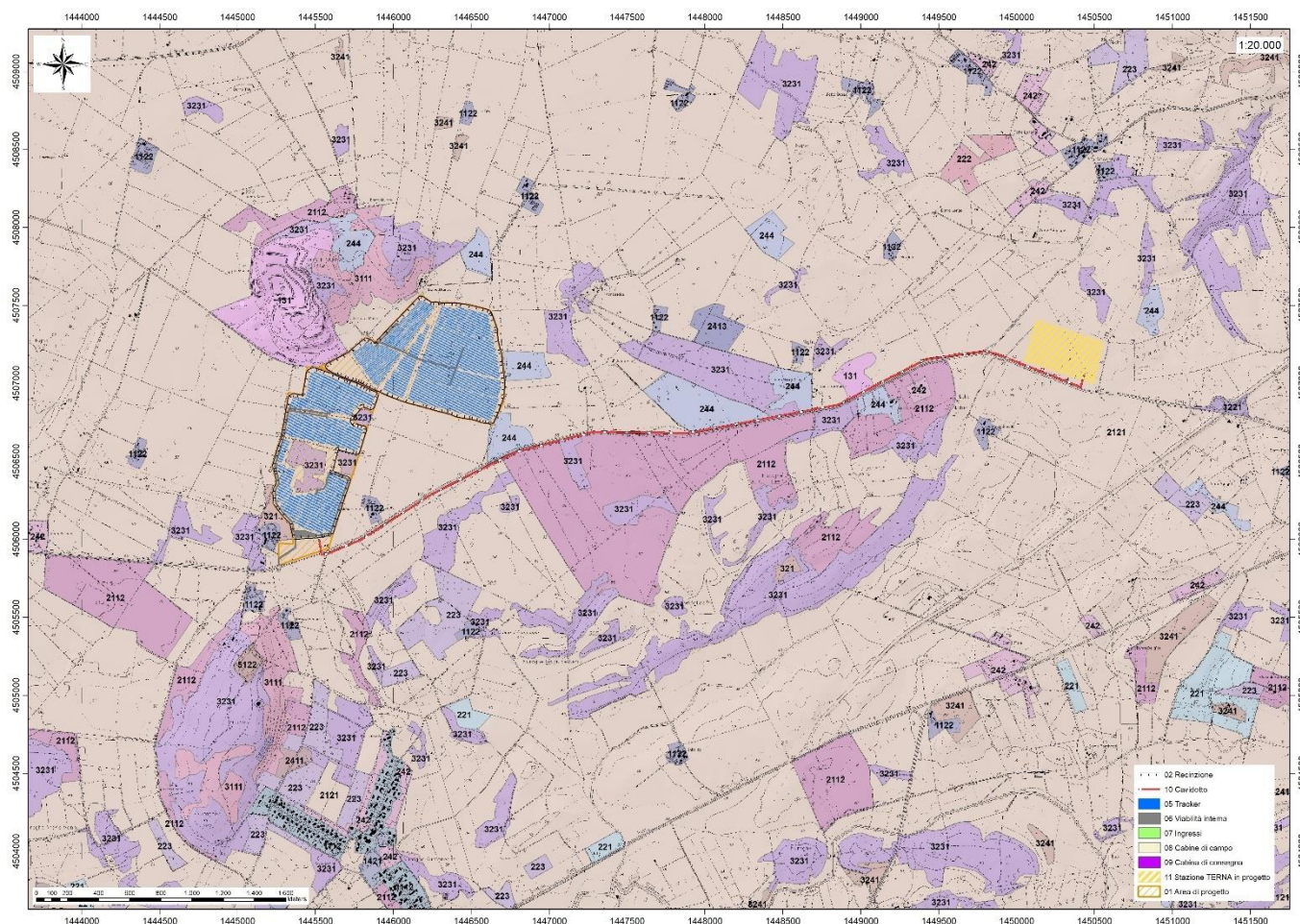


Figura 42 Stralcio della Carta dell'Uso del Suolo, (Fonte RAS)

9. FATTIBILITA' IDROGEOLOGICA

A seguito di un'attenta analisi delle caratteristiche geologiche, geomorfologiche e idrogeologiche dell'area significativa al progetto affrontate nei paragrafi precedenti, viene resa una serie di considerazioni riguardanti l'interazione dell'opera con le dinamiche relative all'idrografia superficiale e sotterranea.

L'eventuale presenza di una porzione argillosa costituente l'orizzonte superficiale (suolo/coltri colluviali) e debolmente profondo potrebbe localmente limitare il drenaggio delle acque. La presenza di locali depressioni può favorire l'accumulo momentaneo di acque piovane durante gli eventi piovosi più intensi.

Si suggerisce un'opportuna regimazione delle acque superficiali sia in fase di realizzazione delle opere che in fase di esercizio.

Il sistema adottato prevede che le stringhe non si trovino ravvicinate ma ad una distanza tale da permettere sia la circolazione dell'aria che l'insolazione indiretta durante l'arco della giornata anche in ragione della loro mobilità (tracker ad inseguimento). I pannelli sono posti ad un'altezza di 2,50 m da piano campagna, pertanto, non vi è alcun contatto con il suolo. Da ciò ne deriva che non c'è interferenza con il grado di permeabilità del terreno ante opera, che di fatto rimane inalterato.

La profondità di imposta degli elementi di ancoraggio dei pannelli al suolo è tale da non interferire con la dinamica di circolazione sotterranea più profonda.

Dott.ssa Geol. Cosima Atzori

ORDINE DEI GEOLOGI DELLA SARDEGNA - Sezione A n°656